

Vysoká škola: strojní a textilní
Fakulta: textilní

Katedra: KTP
Školní rok: 1967

DIPLOMNÍ ÚKOL

pro
obor
s. Jaroslava Símona
042 - 11 - Textilní stroje

Protože jste splnil požadavky učebního plánu, zadává Vám vedoucí katedry ve smyslu směrnic ministerstva školství a kultury o státních závěrečných zkouškách tento diplomní úkol:

Název tématu: Vačkový mechanismus bidla

Pokyny pro vypracování:

Vypracujte konstrukční návrh vačkového mechanismu bidla pro tryskové stavby P 175, podle těchto parametrů:

maximální otáčky stavu 480/min

pracovní šířka stavu 1,75 m

dráha bidla, měřeno v ose konfusoru 90 mm

klidový úhel hnací vačky 180°

maximální váha bidla (kyvného členu včetně mečíků, nosníku, konfusoru a parsku) 20 kg

přírazná síla maximální 350 kp

Tvar přechodové křivky vačky převezmete z prací VVÚ-ZVS Brno, stanovenou na samočinném počítači pro optimální průběh zrychlení bídla.

Stanovte těžiště kyvného členu a průběh dynamických sil.

Pro sílu je určena max. hodnota 200. Stanovte průběh reakcí v osách mechanismu a z tlaku na vačce také průběh konstantního napětí. Pro věřte možnosti výroby vaček vzhledem k požadované přesnosti.

Proveďte technicko-ekonomické porovnání navrženého vačkového mechanismu s přírazným mechanismem P - 175 použitým na základním modelu tohoto stroje.

Autorské právo se řídí směrnicemi MČK pro státní závěrečné zkoušky č. j. 31/72/62-III/2 ze dne 13. července 1962-Vestník MČK XVIII, sešit 24 ze dne 31. 8. 1962 § 19 autorského zákona č. 115/53 Sb.

Vysoká škola strojní a elektrotechnická
Ústřední knihovna
LIBEREC 1, STUDENTOVA 5

V 8/2/1967 77

Stráž 102 Plzeň - 6662-65

Rozsah grafických laboratorních prací: Sestavní výkresy mechanismu a 5 dílenských
výkresů součástí (vačka, rameno bidla,
nosník bidla, kladka vačky a osa bidla)
Rozsah průvodní zprávy:
40 až 50 listů A4 textu a výpočtů

Seznam odborné literatury:

Charvát: Teorie mechanismů - skripta VŠST
Talavášek: Konstrukce tkacích stavů - Skripta VŠST
Výkresy skřipce stavu STD (Sulzer) ve UPTS Liberec
Skřipcové stavy Textima v PBT Liberec
" " S-61- prototyp ve UPTS Liberec

Vedoucí diplomní práce: Prof. Ing. František Pompe

Konsultanti: Doc. Ing. Talavášek VŠST
Ing. Vladimír Hora VVU-ZVS Brno

Datum zahájení diplomní práce:

Datum odevzdání diplomní práce:

L. S.

Vedoucí katedry

Děkan

dne 19.
V.

9.6.9.9.6.3

str.

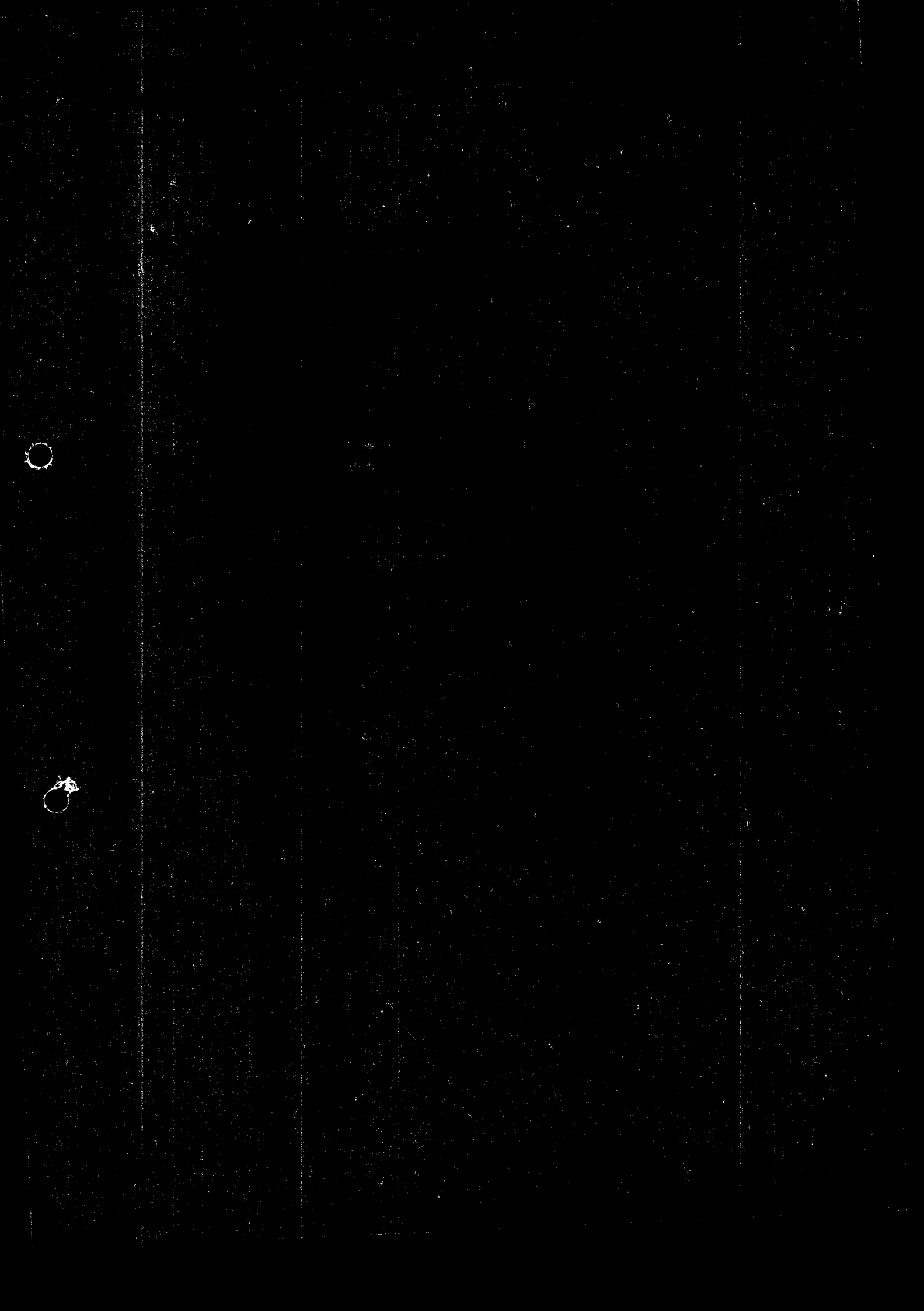
1. Úvod	3
2. Výkony mechanické	4
3. Upravování polohového	6
údaje roviny	6
3.1. Harmonický pohyb	6
3.2. Dvojité harmonický pohyb	6
3.3. Dvojité údaje	7
3.4. Dvojité údaje	7
3.5. Polohové údaje	7
4. Upravování polohových údajů	8
4.1. Prvek roviny obnovující pohyb	9
4.2. Prvek roviny obnovující pohyb	14
4.3. Prvek roviny obnovující pohyb	21
4.4. Změna a výpočetních údajů	27
4.5. Upravování polohového bodu pohyb	31
4.5.1. pro prvek roviny obnovující	31
4.5.2. pohyb	31
4.6. Upravování polohového bodu pohyb	45
4.6.1. pro dvojité údaje	45
4.6.2. pro dvojité údaje	50
5. Vše polohového a rotacionálního	56
údaje na opakování zadaného výpočtu	56
5.1. Upravování údajů pro prvek roviny obnovující	57
5.1.1. pro dvojité údaje	57

6.	Výpočet pohybu volny	39
6.1.	Výpočet v závislosti na hmotnosti	39
6.2.	Transformace pohybových souřadnic druhého okruhu	42
6.3.	KPI výpočet volny	44
7.	Dynamické řešení	45
7.1.	Momentu udržitelnosti	45
7.2.	Dynamické dělání na bídlo	46
7.3.	Výpočet historických tvarů na výrobou	53
7.4.	Dynamické dělání vedením cíle jízdy	54
7.5.	Výpočet průběhu od výrobky	55
8.	Výroba výrobek	58
9.	Soustavy sítí v závislosti na výrobce	60
10.	Elektronické řízení výroby	61
	Summa počtu stran	63
	Summa stran	64

VISIT LIBRARY
PAKULTA STROK

6. VERSIYON KONSEP DILAMAR
- 6.1. KONSEP DILAMAR
- 6.2. KONSEP DILAMAR
- 6.3. KONSEP DILAMAR
7. KONSEP DILAMAR
- 7.1. KONSEP DILAMAR
- 7.2. KONSEP DILAMAR
- 7.3. KONSEP DILAMAR
- 7.4. KONSEP DILAMAR
- 7.5. KONSEP DILAMAR
8. KONSEP DILAMAR
9. KONSEP DILAMAR
10. KONSEP DILAMAR

11. KONSEP DILAMAR



	str.
6. Výpočet průšlu vážky	39
6.1. Vážka s vahadlem a kladítkou . .	39
6.2. Transformace polárních souřadnic dvou ekvidistant	41
6.3. Křivost vážky	44
7. Dynamické řešení	45
7.1. Moment oetrvačnosti	45
7.2. Dynamické dějiny na bidle	46
7.3. Výpočet Hertzových tlaků na váže .	51
7.4. Dynamické účinky vážkové dvojice .	54
7.5. Výpočet reakcí od vážek	55
8. Výroba vážek	58
9. Současný stav v zahraničí a u nás . . .	60
10. Ekonomické shodnocení	61
Seznam použitých literatury	63
Seznam příloh	64

Obsah:

str.

1. Úvod	3
2. Vážkový mechanismus	4
3. Určení vhodného pohybového zákonu vážky	6
3.1. Harmonický průběh	6
3.2. Dvojitý harmonický průběh	6
3.3. Jednoduché polynomy	7
3.4. Ostatní křivky	7
3.5. Polynomické křivky	7
4. Výpočet polynomických křivek	8
4.1. Prvá volba okrajových podmínek . .	9
4.2. Druhá volba okrajových podmínek .	16
4.3. Třetí volba okrajových podmínek .	22
4.4. Záhadnoucí vypočítaných sávialo- ti	27
4.5. Určení inflexního bodu průběhu $v'' = f''(0)$ pro první volbu okr. podmínek	31
4.6. Určení inflexního bodu průběhu $v'' = f''(0)$ pro druhou volbu okr. podmínek	46
4.7. Určení inflexního bodu průběhu $v'' = f''(0)$ pro třetí volbu okr. podmínek	56
5. Vliv poloměru r_{min} cílového kružnice vážky na správnou funkci vážkového mechanismu	56
5.1. Určení r_{min} pro první volbu okr. podmínek	57
5.2. Určení r_{min} pro druhou volbu okr. podmínek	58

1. ÚVOD

U vedenovacích pruhů je rychlosť útoku ohrožena a vykazuje značný pokles s přibývající vzdálostí od trysky. U všech tryskových staveb je pruhovní utrojí připojeno pevně na rám stroje. Kdyby pruhovní zařízení u tryskových staveb bylo umístěno přímo na bidle, docházelo by k tomu, že útok pruhového proudu vzduchu nebo vody by vzhledem ke své malé hmotě neopisoval stejnou dráhu jako paprsek upsaný na bidle. Z téhoto důvodu je nutno, aby bidlo bylo v zadní úvratí po dobu asi poloviny otáčky hlavního křídla v klidu. Tento požadavek je možný dosáhnout dvěma způsoby:

- a) navrhované členitěláky kloboukový mechanismus bidla
- b) navrhované vařkový mechanismus bidla.

Vařkový mechanismus má ve srovnání s členitělánkou kloboukový mechanismus některé nebezpečné výhody.

1. Je možné dosáhnout dokonalou kladivou polohou a volitelnou délkou trvání
2. Je možno volit zákon pohybu, což umožňuje být jiný mechanismus.

2. VAČKOVÝ MECHANISMUS

Rovný vačkový mechanismus je příkladem soustava s jednou obecnou kinematickou dvojicí mezi pohyblivými členy a dvěma nízkimi kinematickými dvojicemi páté třídy. Podle Čabyševova strukturního vzorce pro mechanismus třetí třídy platí:

$$W = 3(n-1) - 2p_3 - p_4$$

kde

$n = 3 \dots$ počet členů

$p_3 = 2 \dots$ počet kinematických dvojic páté třídy

$p_4 = 1 \dots$ počet kinematických dvojitých čtvrté třídy

Bude tedy po dosazení $W = 1$, což nazává, že se jedná o mechanismus s jedním stupnem volnosti. Víme, že v tomto případě stačí některému členu předepsat pohyb a pohyb všech členů ostatních může být jednoznačně určený. Nebudeme zde uvádět úplné rozdělení vačkových mechanismů. Řekneme si, že budeme používat rotující valce (její obrys má tvar neokrouhlenceho kotouče) s kívavým svedákem; obecnou dvojicí mezi valcem a svedákem nahradíme valivou dvojicí tak, že mezi jeden konec svedáku a valíku vložíme kladku vhodné velikosti. Tím odstraníme smykové tření a nahradíme ho valivým, což je vzhledem k posledované životnosti tvaru stroje výhodnější. Přesvědčme se ještě, zda se nám takto upravený mechanismus nastihnil, co se týče stupně volnosti.

Dosazením do předešlého vzorce dostaneme
 $W = 3(4-1) - 2 \cdot 4 - 0 = 1$,

Jsou tedy oba mechanismy kinematicky naprostě ekvivalentní. Jinacím členem takového mechanismu bývá vaňka, jejíž tyč je dán pořadovým pohybem hnaneho člena (zvedáků).

Při návrhu vaňkového mechanismu postupujeme takto:

a) stanovíme vhodný typ vaňky.

Rozlišujeme typy:

1. K - Z - K (klid, zdvih, klid)

2. K - Z - S - K (klid, zdvih, stah, klid),

b) určíme vhodný pohybový zákon zvedáku,

c) stanovíme druh vaňky (radiální, axiální) a závěr
háku (desmodromický, pružinový, příp. drážková
vaňka).

Pro exponované podmínky používá se desmodromoického závěru, nutené ovládaného výdékou a protivádkou. Toto provedení však může zvyšovat nároky na materiály, bereme-li v úvahu pořadovanou životnost stroje. Pružinový závěr vyžaduje těchto pracovních podmínek silnou pružinu, která ovšem může rychle snášet v natažení. Drážková vaňka má výhodu, že dochází ke snášení směru otáčení vlastky v přechodech ze závěru klesadloho na zadorné.

d) Určíme velikost vaňky, úhel tlaku, minimální poloměr krivosti,

e) stanovíme materiály pro vaňku a závěr a určíme přesnost výroby vaňky.

Celý mechanismus má být i tuť s minimálními výrobami.

3. UZEMÍ VEČKOVÉHO POKYNOVÉHO ZÁKONA VAČKY

3.1. Harmonický zákon

je nejčastěji používán. Jeho dráha se dá vyjádřit výrazem:

$$v = v_{\max} / (1 - \cos \pi \cdot \frac{\theta}{\beta}) \quad (1,51)$$

kde

v_{\max} je maximální druhý výkyv zvedáku

θ je druh otočení vačky

β je druh pootočení vačky, během něhož se má vykonat celý zdvih zvedáku.

Tento průběh je nevhodný především proto, že zrychlení (\ddot{v}) v počátku a konci ještě vzdálenosti má přírůstek na maximální hodnotu v nulovém čase.

3.2. Dvojité harmonický zákon

je s výhodou používán pro vačku typu K - Z - S - K. Je nezávislý a jak vyplývá z rovnice dráhy, jde o rozdíl dvou harmonických, z nichž druhá má $1/4$ amplitudy a dvojnásobnou frekvenci.

$$v = \frac{v_{\max}}{2} / (1 - \cos \pi \cdot \frac{\theta}{\beta}) - \frac{1}{4} (1 - \cos 2\pi \cdot \frac{\theta}{\beta}) \quad (1,52)$$

Cykloidální křivka, jedna z nejlepších typů K - Z - K, má ve verzi K - Z - S - K nejdoucí pokles zrychlení v bodě maximálního zdvihu.

3.3. Jednoduché polynomy

v tomto případě jde o průběhy popsané rovnicí

$$\vartheta = C e^n$$

(1,33)

n je libovolné číslo

C je konstanta

Průběhu příkrovému odpovídá : n = 1

parabolický nebo konst. zrychlení : n = 2

kubický nebo konst. puls : n = 3

Závěr: Trigonometrické křivky jsou vhodnější, dělají plynulejší průběhy, snazší výrobu, nižší výrobní náklady, menší vibrace, menší hlučnost a nahání než jednoduché polynomické.

3.4. Modifikované

vznikají kombinací předešlých skupin: modifikovaný příkrový průběh s kruhovými přechody, průběh ze dvou kruhových oblouků, atd.

3.5. Polynomické křivky

rovnice zadívám se tvar:

$$\vartheta = C_0 + C_1 \cdot e + C_2 \cdot e^2 + C_3 \cdot e^3 + \dots + C_n \cdot e^n \quad (1,35)$$

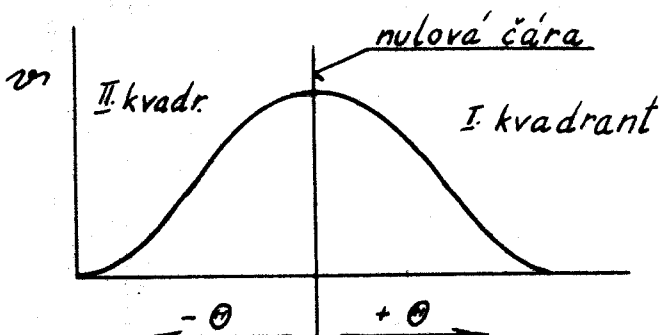
e dhel výkrov

e dhel otocení vadky

C₁ konstanta

Rovnice (1,35) představuje pausy polovinu (jednu stranu) pohybu (zdvihu). K nalezení druhé části je třeba měřit dhel vadky e plus a minus od nulové čáry, procházející maximálním bodem zdvihu (obr. 1/35).

Pohyb je možno konstruovat vytížením mezi pro krajní body pohybu (začátek a konec). Uvádí se, že tyto mezní podmínky určují počet členů v polynomické řadě. V tomto případě, čím vyšší bude řada členů, tím pomalejší bude pohyb na začátku a na konci závěru a tím přesněji musí být vačka vyrábena v těchto bodech.



Obr. 1/35

S výhodou používání tzv. závěrových funkcí, pomocí nichž dosáváme poměrně jednoduchý zápis pohybového zákonu a hlavně jejich další prošetrování není složité. Tato výhoda se obvykle projeví u souměrných vaček, kde potom stačí vykrojet jenom polovinu. Ve výsledku pohybového zákonu se musí dozvítat, aby puls byl v okrajových bodech malový nebo konáčkový. Nezajímatelnou hodnotou je nula.

4. VÝROBKA POLYNOMICKÝCH KŘIVEK

Válcové pro vysoké rychlosti musí mít hodnoty pulsu co nejmenší, aby nedocházelo k vysokým hodnotám rádu. Ke stanovení profilu výkresu pro vysoké rychlosti se doporučuje použít početní stanovení průběhu závěru, rychlosti a zrychlení.
Vzhledem k nepravidelné výrobě nemá význam volit řadu polynomu výšší než sedmého stupně, při velmi vysokých rychlostech, polynom devátého stupně.

V této práci je volen polynom sedmého stupně a jsou zjištěny průběhy zdvihu, rychlosti, zrychlení a pulsu pro tři různé volby okrajových podmínek.

4.1. Pravidlo okrajových podmínek

Polynom sedmého stupně

$$\vartheta = C_0 + C_1 \theta + C_2 \theta^2 + \dots + C_7 \theta^7 \quad (1,41)$$

výkazuje osm okrajových podmínek.

Pro vaňku K + Z + S = K máme tyto podmínky:

pro $\theta = 0$, dostávame: $\vartheta = 1$

$$\vartheta' = 0$$

$$\vartheta'' = 0$$

$$\vartheta''' = 0$$

$$\vartheta^{(4)} = 0$$

pro $\theta = 1$, platí: $\vartheta = 0$

$$\vartheta' = 0$$

$$\vartheta'' = 0$$

$$\vartheta''' = 0$$

$$\vartheta^{(4)} = 0$$

Pro výpočet konstant polynomu je možno vypočítat výkazy třídy derivace a do těchto dosadit okrajové podmínky.

Po stupném derivováním rovnice (1,41) dostáváme tyto výkazy:

$$\begin{aligned} \vartheta' &= C_1 + 2 C_2 \theta + 3 C_3 \theta^2 + 4 C_4 \theta^3 + \\ &\quad + 5 C_5 \theta^4 + 6 C_6 \theta^5 + 7 C_7 \theta^6 \end{aligned} \quad (2,41)$$

$$\begin{aligned} \vartheta'' &= 2 C_2 + 6 C_3 \theta + 12 C_4 \theta^2 + 20 C_5 \theta^3 + \\ &\quad + 30 C_6 \theta^4 + 42 C_7 \theta^5 \end{aligned} \quad (3,41)$$

$$\begin{aligned} \vartheta''' &= 6 C_3 + 24 C_4 \theta + 60 C_5 \theta^2 + 120 C_6 \theta^3 + \\ &\quad + 210 C_7 \theta^4 \end{aligned} \quad (4,41)$$

$$\begin{aligned} \vartheta^{(4)} &= 24 C_4 + 120 C_5 \theta + 360 C_6 \theta^2 + \\ &\quad + 840 C_7 \theta^3 \end{aligned} \quad (5,41)$$

Pro $\theta = 0$ platí $\varpi = 1$. Tuto podmínku dosadíme do rovnice (1,41) a dostaneme:

$$\varpi = C_0 = 1 \quad \dots \quad C_0 = 1$$

Dosazením dalších okrajových podmínek pro $\theta = 0$ do vztahů (2,41), (3,41), (4,41), dostaneme konstanty C_1 , C_2 a C_3 .

Platí: $\varpi = 0 = C_1 \quad \dots \quad C_1 = 0$
 $\varpi = 0 = 6 C_2 \quad \dots \quad C_2 = 0$
 $\varpi = 0 = 24 C_3 \quad \dots \quad C_3 = 0$

Nyní dosadíme tyto vypočtené konstanty do rovnice (1,41) a dostaneme polynom ve tvaru:

$$\varpi = 1 + C_2 \theta^2 + C_3 \theta^3 + C_6 \theta^6 + C_7 \theta^7 \quad (6,41)$$

Zbyvající čtyři konstanty dostaneme tak, že dosadíme okrajové podmínky pro $\theta = 1$. Dostaneme soustavu čtyř rovnic pro čtyři neznámé, kterou rozřešíme smíšeným způsobem pomocí determinantů.

Po dosazení máme:

$$\begin{aligned} -1 &= C_2 + C_3 + C_6 + C_7 \\ 0 &= 2 C_2 + 5 C_3 + 6 C_6 + 7 C_7 \\ 0 &= 2 C_2 + 20 C_3 + 30 C_6 + 42 C_7 \\ 0 &= 60 C_3 + 120 C_6 + 210 C_7 \end{aligned}$$

Nejdříve si určíme determinant soustavy

$$D_s = \begin{vmatrix} 1 & 1 & 1 & 1 \\ 2 & 5 & 6 & 7 \\ 2 & 20 & 30 & 42 \\ 0 & 60 & 120 & 210 \end{vmatrix} = 10 \begin{vmatrix} 1 & 1 & 1 & 1 \\ 0 & 3 & 4 & 5 \\ 0 & 15 & 24 & 35 \\ 0 & 6 & 12 & 21 \end{vmatrix} = 120$$

Výpočet C_2 :

$$D_2 = \begin{vmatrix} -1 & 1 & 1 & 1 \\ 0 & 5 & 6 & 7 \\ 0 & 20 & 30 & 42 \\ 0 & 60 & 120 & 210 \end{vmatrix} = -420 \quad C_2 = \frac{D_2}{D_s} = -3,5$$

Výpočet C_5 :

$$D_5 = \begin{vmatrix} 1 & -1 & 1 & 1 \\ 2 & 0 & 6 & 7 \\ 2 & 0 & 30 & 42 \\ 0 & 0 & 120 & 210 \end{vmatrix} = 1880 \quad C_5 = \frac{D_5}{D_s} = 14$$

Výpočet C_6 :

$$D_6 = \begin{vmatrix} 1 & 1 & -1 & 1 \\ 2 & 5 & 0 & 7 \\ 2 & 20 & 0 & 42 \\ 0 & 60 & 0 & 210 \end{vmatrix} = -2100 \quad C_6 = \frac{D_6}{D_s} = -17,5$$

Výpočet C_7 :

$$D_7 = \begin{vmatrix} 1 & 1 & 1 & -1 \\ 2 & 5 & 6 & 0 \\ 2 & 20 & 30 & 0 \\ 0 & 60 & 120 & 0 \end{vmatrix} = 720 \quad C_7 = \frac{D_7}{D_s} = 6$$

Vypočtené hodnoty nyní dosadíme do rovnice (1,41), takže můžeme psát

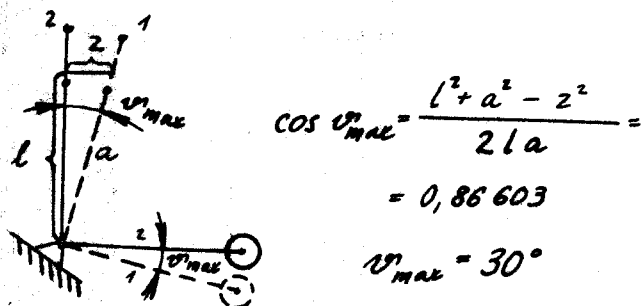
$$\vartheta = 1 - 3,5 \cdot 0^2 + 14 \cdot 0^5 - 17,5 \cdot 0^6 + 6 \cdot 0^7 \quad (7,41)$$

Uvedená rovnice představuje tzv. jednotkovou zdvihofovou funkci. Skutečnou zdvihofovou funkci dos-

tanec snadno, uvědomíme-li si, že $\beta = 90^\circ$ = uprostřed úhlu, na němž musí zvedání probíhat z jedné krajiné polohy do druhé, tedy o v_{\max} . Stačí tedy provést stranu rovnice (7,43) vynásobit poměrem $\frac{v_{\max}}{v}$.
Tím dostaneme rovnici (8,41), do níž nám schází určit jenom úhel v_{\max} .

$$v^2 = v_{\max}^2 / 1 - 3,5 \left(\frac{\theta}{\beta}\right)^2 + 14 \left(\frac{\theta}{\beta}\right)^5 - \\ - 17,5 \left(\frac{\theta}{\beta}\right)^6 + 6 \left(\frac{\theta}{\beta}\right)^7 / \quad (8,41)$$

Určení velikosti úhlu v_{\max} vyplývá z obr. 1/41.



Obr. 1/41.

Jestliže do (8,41) dosadíme $v_{\max} = 30^\circ$, $\beta = 90^\circ$ (plynie se zadání) a úhel $\theta = 0 + 90^\circ \rightarrow 10^\circ$, můžeme načítat průběh úhlu otvoření zvedání v závislosti na úhlu otvoření vodky (jmenovitě dělení θ z časových důvodů není možné provést).

Výsledky jsou uvedeny v tabulce I - 41.

Výsledek uhlové rychlosti rohadiel.

Pro výpočet uhlové rychlosti $\dot{\vartheta} = \frac{dv}{dt}$ dosadíme do rovnice (8,41) za θ (úhel otvoření vodky) výraz

$$\theta = \omega_v \cdot t$$

$$\text{kde } \omega_v = \frac{T_{\text{zad}}}{J_0} = \frac{T_{\text{zad}} \cdot 100}{30} = 50,24 [\text{s}^{-1}] \text{ je}$$

úhlová rychlosť na vzdce a čase rovnici derivuje-
me podle času.

Dostaneme:

$$\dot{v} = \omega_0 v_{\max} \left(-\frac{7}{\beta^2} t + \frac{70}{\beta^5} t^4 - \frac{105}{\beta^6} t^5 + \frac{42}{\beta^7} t^6 \right) \quad (9,41)$$

Celkový úhel $\theta = 90^\circ$ je opět rozdělen po deseti stupních a v každé poloze svírát je vypočítána úhlová rychlosť \dot{v} . Výsledky jsou uvedeny v tabulce I - 41.

Dobíjet úhlového zrychlení.

Úhlové zrychlení $\ddot{v} = \frac{d^2 v}{dt^2} = \frac{d \dot{v}}{dt}$ dostaneme dalším derivováním rovnice (9,41) podle času.

$$\ddot{v} = \omega_0^2 v_{\max} \left(-\frac{7}{\beta^2} + \frac{280}{\beta^3} t^3 - \frac{525}{\beta^4} t^4 + \frac{252}{\beta^5} t^5 \right) \quad (10,41)$$

Dělení je stejné jako v předešlém výpočtu u úhlové rychlosti a výsledky jsou upraveny v tabulce I - 41.

Vypočítat pulsu.

Puls je roven třetí derivaci závislosti podle času.

$$\text{Platí: } p = \ddot{\ddot{v}} = \frac{d^3 v}{dt^3} = \frac{d \ddot{v}}{dt}$$

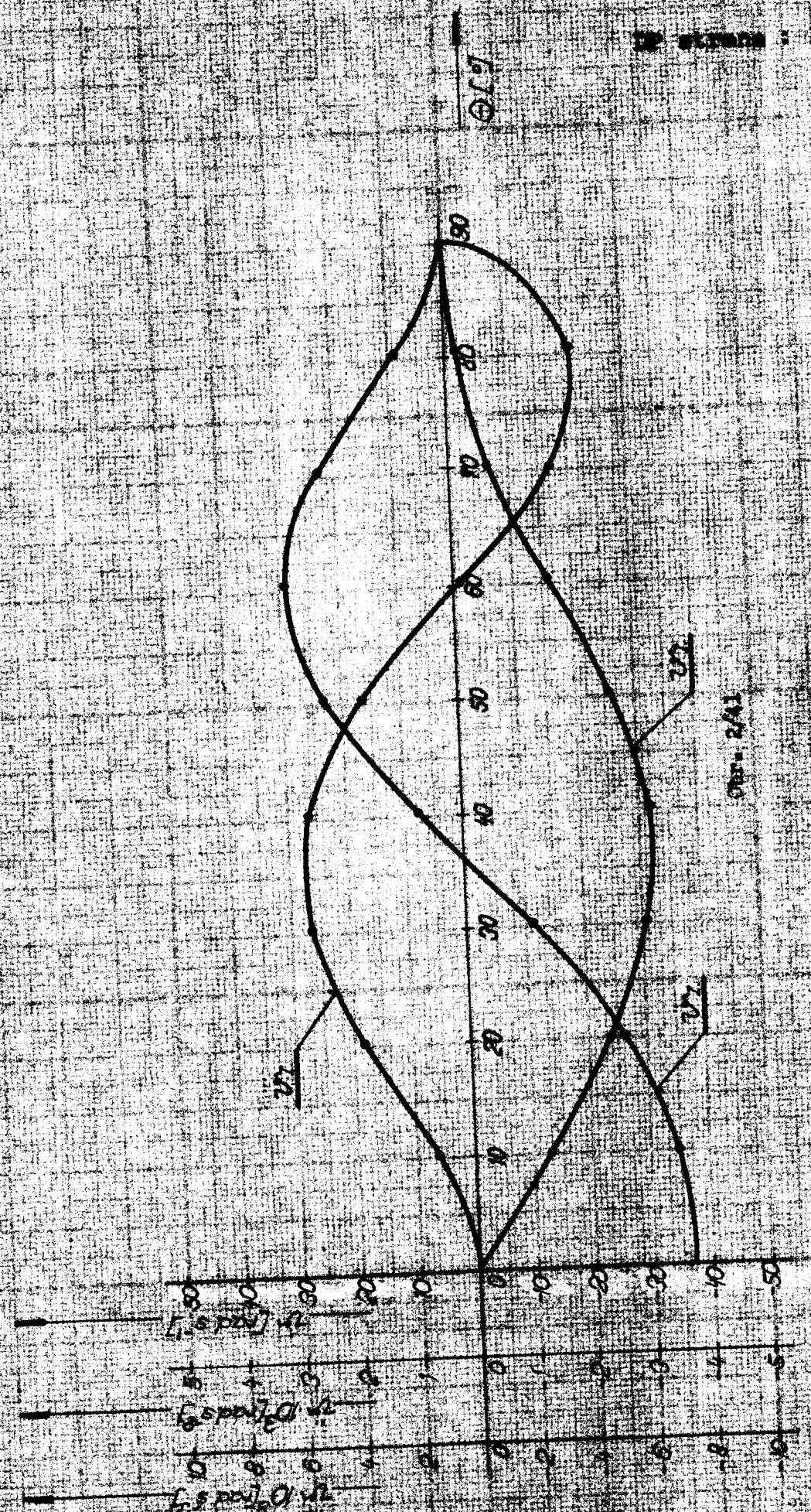
Rovnici (10,41) derivujeme podle času a dostáváme vztah:

$$\ddot{\ddot{v}} = \omega_0^2 v_{\max} \left(\frac{840}{\beta^5} t^2 - \frac{2100}{\beta^6} t^3 + \frac{1260}{\beta^7} t^4 \right) \quad (11,41)$$

Hodnoty pulsu pro jednotlivé časové okamžiky jsou uvedeny v tabulce I - 41.

$\alpha [^{\circ}]$	$\omega [\text{rad}]$	$\dot{\omega} [\text{rad} \cdot s^{-1}]$	$\ddot{\omega} [\text{rad} \cdot s^{-2}]$	$\dddot{\omega} [\text{rad} \cdot s^{-3}]$
0	30,000	0,523 000	0,000 000	- 3 749,084
10	28,694	0,500 553	-12,864 550	- 3 583,980
20	24,979	0,435 744	-24,040 859	- 2 716,008
30	19,429	0,338 944	-30,850 670	- 1 111,069
40	13,129	0,229 038	- 31,411 065	785,350
50	7,349	0,128 205	- 25,822 385	2 321,678
60	3,104	0,054 148	- 16,407 191	2 915,224
70	0,804	0,014 029	- 6,998 853	2 326,074
80	0,065	0,001 141	- 1,273 149	931,517
90	0,000	0,000 000	0,000 000	0,000

Tabulka I - 41



4.2. Důsledek využití okrajových podmínek

Pro $\theta = 0$, platí: $v^0 = 1$

$$v' = 0$$

$$v'' = 0$$

Pro $\theta = 1$, platí: $v^0 = 0$

$$v' = 0$$

$$v'' = 0$$

$$v''' = 0$$

$$v'''' = 0$$

$$v'''''' = 0$$

Dosazením okrajových podmínek pro $\theta = 0$ do rovnic (1,41), (2,41) a (5,41), dostaneme:

$$v^0 = C_0 = 1 \quad \rightarrow \quad C_0 = 1$$

$$v' = C_1 = 0 \quad \rightarrow \quad C_1 = 0$$

$$v'' = 24C_4 = 0 \quad \rightarrow \quad C_4 = 0$$

Rovnici (1,41) můžeme psát ve tvaru

$$v^0 = 1 + C_2 \theta^2 + C_3 \theta^3 + C_5 \theta^5 + C_6 \theta^6 + \\ + C_7 \theta^7 \quad (1,42)$$

Abychom mohli určit stojící konstanty, vy- počítáme první, druhou, třetí a čtvrtou derivaci podle času rovnice (1,42).

$$v' = 2 C_2 \theta + 3 C_3 \theta^2 + 5 C_5 \theta^4 + 6 C_6 \theta^5 + \\ + 7 C_7 \theta^6 \quad (2,42)$$

$$v'' = 2 C_2 + 6 C_3 \theta + 20 C_5 \theta^3 + 30 C_6 \theta^4 + \\ + 42 C_7 \theta^5 \quad (3,42)$$

$$v''' = 6 C_3 + 60 C_5 \theta^2 + 120 C_6 \theta^3 + 210 C_7 \theta^4 \quad (4,42)$$

$$v'''' = 60 C_5 \theta + 360 C_6 \theta^2 + 840 C_7 \theta^3 \quad (5,42)$$

Do rovnic (2,42), (3,42), (4,42), (5,42) dosadíme
okrajové podmínky pro $\theta = 1$ a dostaneme:

$$\begin{aligned} -1 &= C_2 + C_3 + C_5 + C_6 + C_7 \\ 0 &= 2C_2 + 3C_3 + 5C_5 + 6C_6 + 7C_7 \\ 0 &= 2C_2 + 6C_3 + 20C_5 + 30C_6 + 42C_7 \\ 0 &= 6C_3 + 60C_5 + 120C_6 + 210C_7 \\ 0 &= 120C_5 + 360C_6 + 840C_7 \end{aligned}$$

Dostali jsme soustavu pěti rovnic pro 5 neznámých.
Pomocí determinantu určíme jednotlivé neznámé C_2 ,
 C_3 , C_5 , C_6 a C_7 .

Determinant soustavy je:

$$D_s = \begin{vmatrix} 1 & 1 & 1 & 1 & 1 \\ 2 & 3 & 5 & 6 & 7 \\ 2 & 6 & 20 & 30 & 42 \\ 0 & 6 & 60 & 120 & 210 \\ 0 & 0 & 120 & 360 & 840 \end{vmatrix} = 2880$$

Vypočet konstanty C_2 :

$$D_2 = \begin{vmatrix} -1 & 1 & 1 & 1 & 1 \\ 0 & 3 & 5 & 6 & 7 \\ 0 & 6 & 20 & 30 & 42 \\ 0 & 6 & 60 & 120 & 210 \\ 0 & 0 & 120 & 360 & 840 \end{vmatrix} = -30240 \quad C_2 = \frac{D_2}{D_s} = -10,5$$

Výpočet konstanty C_3 :

$$D_3 = \begin{vmatrix} 1 & -1 & 1 & 1 & 1 \\ 2 & 0 & 5 & 6 & 7 \\ 2 & 0 & 20 & 30 & 42 \\ 0 & 0 & 60 & 120 & 210 \\ 0 & 0 & 120 & 360 & 840 \end{vmatrix} = 50\ 400 \quad C_3 = \frac{D_3}{D_s} = 17,5$$

Výpočet konstanty C_5 :

$$D_5 = \begin{vmatrix} 1 & 1 & -1 & 1 & 1 \\ 2 & 3 & 0 & 6 & 7 \\ 2 & 6 & 0 & 30 & 42 \\ 0 & 6 & 0 & 120 & 210 \\ 0 & 0 & 0 & 360 & 840 \end{vmatrix} = -60\ 480 \quad C_5 = \frac{D_5}{D_s} = -21$$

Výpočet konstanty C_6 :

$$D_6 = \begin{vmatrix} 1 & 1 & 1 & -1 & 1 \\ 2 & 3 & 5 & 0 & 7 \\ 2 & 6 & 20 & 0 & 42 \\ 0 & 6 & 60 & 0 & 210 \\ 0 & 0 & 120 & 0 & 840 \end{vmatrix} = 50\ 400 \quad C_6 = \frac{D_6}{D_s} = 17,5$$

Výpočet konstanty C_7 :

$$D_7 = \begin{vmatrix} 1 & 1 & 1 & 1 & -1 \\ 2 & 3 & 5 & 6 & 0 \\ 2 & 6 & 20 & 30 & 0 \\ 0 & 6 & 60 & 120 & 0 \\ 0 & 0 & 120 & 360 & 0 \end{vmatrix} = -12\ 960 \quad C_7 = \frac{D_7}{D_s} = -4,5$$

Zjištěné konstanty nyní dosadíme do rovnice (1,42), čímž dostaneme:

$$\vartheta = 1 - 10,5 \cdot \theta^2 + 17,5 \cdot \theta^3 - 21 \cdot \theta^5 + 17,5 \cdot \theta^6 - \\ - 4,5 \cdot \theta^7 \quad (6,42)$$

Stejnou úpravou jako při první volbě dostaneme:

$$\vartheta = \vartheta_{\max} / 1 = 10,5 \left(\frac{\theta}{3}\right)^2 + 17,5 \left(\frac{\theta}{3}\right)^3 - \\ - 21 \left(\frac{\theta}{3}\right)^5 + 17,5 \left(\frac{\theta}{3}\right)^6 - 4,5 \left(\frac{\theta}{3}\right)^7 \quad (7,42)$$

Shodně s předchozím, provedeme výpočet této rovnice. Výsledky jsou uvedeny v tabulce I - 42.

Výpočet úhlové rychlosti vahadla.

Úhlovou rychlosť vahadla zjistíme derivováním rovnice (7,42) podle času, když za θ dosadíme $\theta = \omega_v \cdot t$.

$$\dot{\vartheta} = \omega_v \cdot \vartheta_{\max} \left(- \frac{21}{3^2} \theta + \frac{52,5}{3^3} \theta^2 - \frac{105}{3^5} \theta^4 + \right. \\ \left. + \frac{105}{3^6} \theta^5 - \frac{21,5}{3^7} \theta^6 \right) \quad (8,42)$$

Výpočet úhlového zrychlení vahadla.

Úhlové zrychlosti dostaneme derivací vztahu (8,42) podle času:

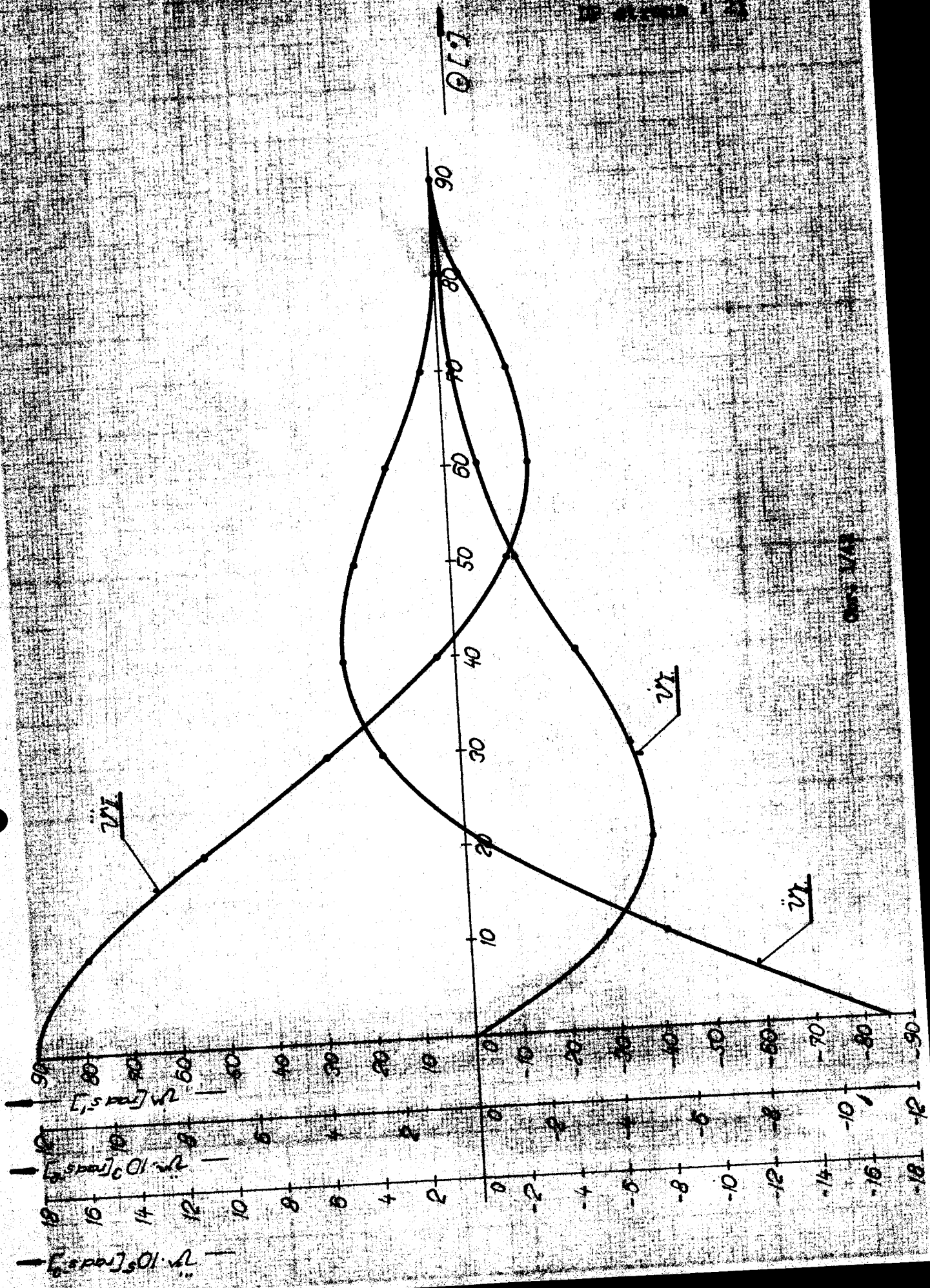
$$\ddot{\vartheta} = \omega_v^2 \cdot \vartheta_{\max} \left(- \frac{21}{3^2} + \frac{105}{3^3} \theta - \frac{420}{3^5} \theta^3 + \right. \\ \left. + \frac{525}{3^6} \theta^4 - \frac{189}{3^7} \theta^5 \right) \quad (9,42)$$

Výpočet pulsu.

Derivaci vztahu (9,42) podle času dostavíme:

$$\dddot{\vartheta} = \omega_v^3 \cdot \vartheta_{\max} \left(\frac{105}{3^3} - \frac{1260}{3^5} \theta^2 + \frac{2100}{3^7} \theta^3 - \right. \\ \left. - \frac{245}{3^7} \theta^4 \right) \quad (10,42)$$

$\alpha [^{\circ}]$	$\alpha' [^{\circ}]$	$\alpha'' [\text{rad}]$	$\alpha''' [\text{rad}]$	$\beta [^{\circ}]$	$\beta' [\text{rad}]$	$\beta'' [\text{rad}]$	$\beta''' [\text{rad}]$
0	30,000	0,523 000	0,000 000	-	11 247,252	-	1 799 418,659
10	26,810	0,467 688	- 28,438 221	-	5 266,576	-	1 579 726,101
20	19,923	0,347 554	- 38,104 530	-	588,722	-	1 088 528,248
30	12,523	0,218 461	- 34,711 181	-	2 220,786	-	553 139,920
40	6,543	0,114 133	- 24,803 267	-	3 213,299	-	61 680,294
50	2,694	0,047 001	- 13,977 509	-	2 051,733	-	2336 981,090
60	0,788	0,013 572	- 5,800 468	-	1 804,769	-	333 226,510
70	0,126	0,002 192	- 1,472 039	-	741,058	-	256 666,194
80	0,048	0,000 837	- 0,163 478	-	123,520	-	96 153,998
90	0,000	0,000 000	0,000 000	-	0,000	-	0,000



Ve všech třech případech, tj. při výpočtu dílové výklopotnosti, dílového zrychlení a pulsu je postupováno následovně:

Celkový úhel rotočení vačky θ , při němž dojde ke změně z $\vartheta = 0$ na $\vartheta = \vartheta_{\max}$ je 90° . Tento úhel je rozdělen na devět stejných dílů po 10° . Uvedené závislosti jsou vypočteny pro každou z těchto konečných hodnot. Výsledky jsou uvedeny v tabulce I - 42.

4.3. Závislosti na koncových hodnotách

Pro $\theta = 0$, platí: $\vartheta = 1$

$$\dot{\vartheta} = 0$$

$$\ddot{\vartheta} = 0$$

$$\dddot{\vartheta} = 0$$

Když dosadíme tyto podmínky do vztahů (1,41), (2,41) a (4,41) dozvídáme:

$$\begin{aligned}\vartheta &= C_0 = 1 & --- & C_0 = 1 \\ \dot{\vartheta} &= C_1 = 0 & --- & C_1 = 0 \\ \ddot{\vartheta} &= 6 C_2 = 0 & --- & C_2 = 0\end{aligned}$$

Rovnice (1,41) pak získáme písemnou formu:

$$\vartheta = 1 + C_2 \theta^2 + C_4 \theta^4 = C_3 \theta^3 + C_5 \theta^5 + C_7 \theta^7 \quad (1,43)$$

Pro výpočet závislostí konstant použijeme podmínku pro $\theta = 1$.

Pro tuhoto hodnotu θ platí:

$$\begin{aligned}\vartheta &= 0 \\ \dot{\vartheta} &= 0 \\ \ddot{\vartheta} &= 0 \\ \dddot{\vartheta} &= 0 \\ \ddot{\vartheta} &= 0 \\ \ddot{\vartheta} &= 0\end{aligned}$$

30. října 1967

Šimán Jaroslav

Musíme si určit první čtyři derivace vztahu (1,43)
a tyto okrajové podmínky do nich dosadit.

$$\dot{v} = 2 C_2 \theta + 4 C_4 \theta^3 + 5 C_5 \theta^4 + 6 C_6 \theta^5 + \\ + 7 C_7 \theta^6 \quad (2,43)$$

$$\ddot{v} = 2 C_2 + 12 C_4 \theta^2 + 20 C_5 \theta^3 + 30 C_6 \theta^4 + \\ + 42 C_7 \theta^5 \quad (3,43)$$

$$\dddot{v} = 12 C_4 \theta + 60 C_5 \theta^2 + 120 C_6 \theta^3 + \\ + 210 C_7 \theta^4 \quad (4,43)$$

$$\ddot{\ddot{v}} = 12 C_4 + 120 C_5 \theta + 360 C_6 \theta^2 + 840 C_7 \theta^3 \quad (5,43)$$

Po dosazení okrajových podmínek pro $\theta = 1$ do vztahů (1,41), (2,43), (3,43), (4,43), (5,43) dostaneme soustavu pěti rovnic pro pět neznámých, kterou řešíme stejným spôsobem jako v kapitole 4.2.

$$\begin{aligned} -1 &= C_2 + C_4 + C_5 + C_6 + C_7 \\ 0 &= 2 C_2 + 4 C_4 + 5 C_5 + 6 C_6 + 7 C_7 \\ 0 &= 2 C_2 + 12 C_4 + 20 C_5 + 30 C_6 + 42 C_7 \\ 0 &= 24 C_4 + 60 C_5 + 120 C_6 + 210 C_7 \\ 0 &= 24 C_4 + 120 C_5 + 360 C_6 + 840 C_7 \end{aligned}$$

Vypočet determinantu soustavy:

$$D_s = \begin{vmatrix} 1 & 1 & 1 & 1 & 1 \\ 2 & 4 & 5 & 6 & 7 \\ 2 & 12 & 20 & 30 & 42 \\ 0 & 24 & 60 & 120 & 210 \\ 0 & 24 & 120 & 360 & 840 \end{vmatrix} = 1440$$

Vypočet konstanty C_2 :

$$D_2 = \begin{vmatrix} -1 & 1 & 1 & 1 & 1 \\ 0 & 4 & 5 & 6 & 7 \\ 0 & 12 & 20 & 30 & 42 \\ 0 & 24 & 60 & 120 & 210 \\ 0 & 24 & 120 & 360 & 840 \end{vmatrix} = -10080 \quad C_2 = \frac{D_2}{D_s} = -7$$

Výpočet konstanty C_4 :

$$D_4 = \begin{vmatrix} 1 & -1 & 1 & 1 & 1 \\ 2 & 0 & 5 & 6 & 7 \\ 2 & 0 & 20 & 30 & 42 \\ 0 & 0 & 60 & 120 & 210 \\ 0 & 0 & 120 & 360 & 840 \end{vmatrix} = 50\ 400 \quad C_4 = \frac{D_4}{D_s} = 35$$

Výpočet konstanty C_5 :

$$D_5 = \begin{vmatrix} 1 & 1 & -1 & 1 & 1 \\ 2 & 4 & 0 & 6 & 7 \\ 2 & 12 & 0 & 30 & 42 \\ 0 & 24 & 0 & 120 & 210 \\ 0 & 24 & 0 & 360 & 840 \end{vmatrix} = -80\ 640 \quad C_5 = \frac{D_5}{D_s} = -56$$

Výpočet konstanty C_6 :

$$D_6 = \begin{vmatrix} 1 & 1 & 1 & -1 & 1 \\ 2 & 4 & 5 & 0 & 7 \\ 2 & 12 & 20 & 0 & 42 \\ 0 & 24 & 60 & 0 & 210 \\ 0 & 24 & 120 & 0 & 840 \end{vmatrix} = 50\ 400 \quad C_6 = \frac{D_6}{D_s} = 35$$

Výpočet konstanty C_7 :

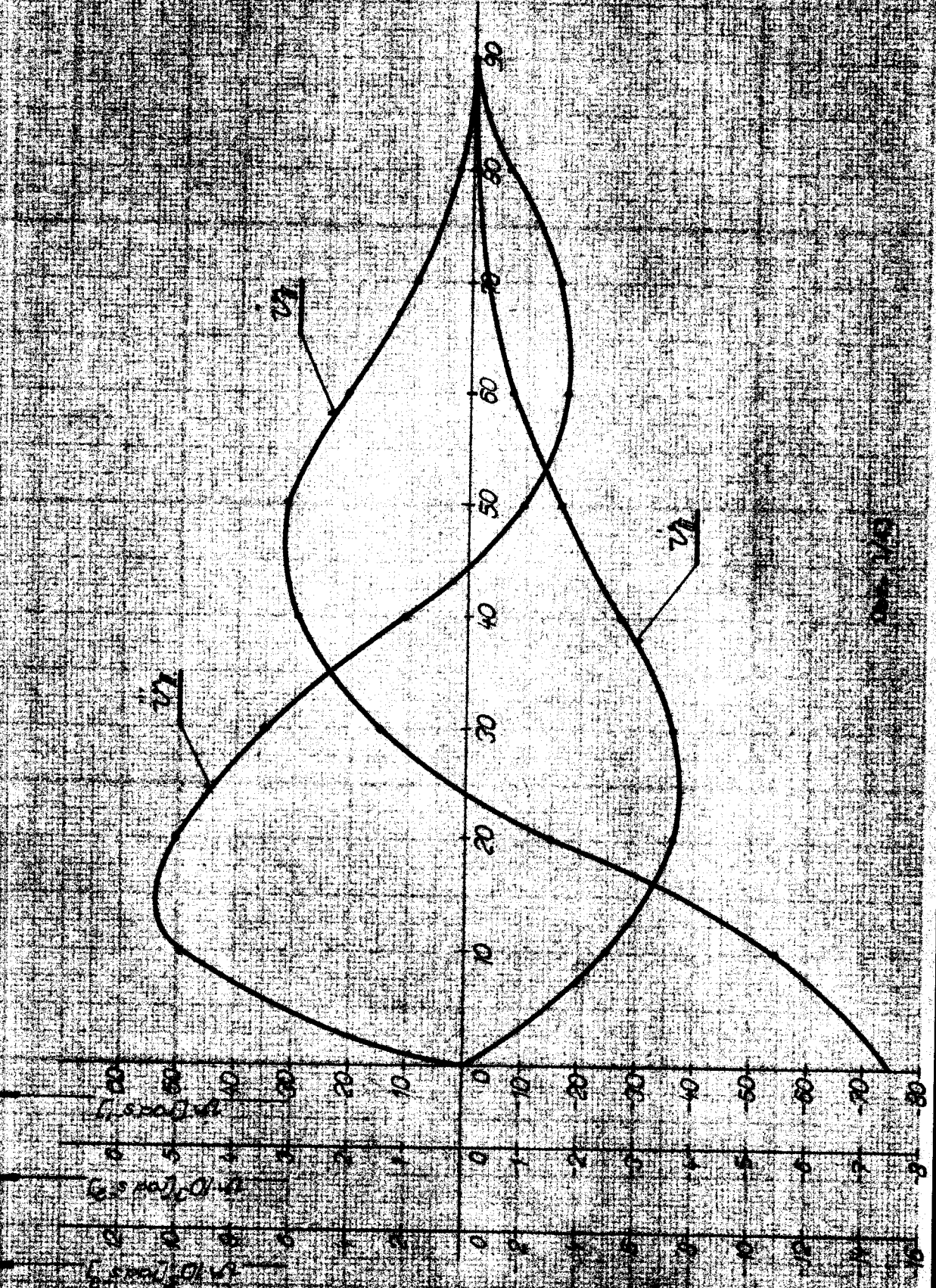
$$D_7 = \begin{vmatrix} 1 & 1 & 1 & 1 & -1 \\ 2 & 4 & 5 & 6 & 0 \\ 2 & 12 & 20 & 30 & 0 \\ 0 & 24 & 60 & 120 & 0 \\ 0 & 24 & 120 & 360 & 0 \end{vmatrix} = -11\ 520 \quad C_7 = \frac{D_7}{D_s} = -8$$

Zjištěné konstanty dosadíme do rovnice (1,43) a dostaneme:

$$\vartheta = 1 - 7 \vartheta^2 + 35 \vartheta^4 - 56 \vartheta^6 + 35 \vartheta^8 - 8 \vartheta^{10} \quad (6,43)$$

$\vartheta [^{\circ}]$	$\omega [rad]$	$\dot{\omega} [rad \cdot s^{-1}]$	$\ddot{\omega} [rad \cdot s^{-2}]$	$\dddot{\omega} [rad \cdot s^{-3}]$
0	30,000	0,523 000	0,000 000	- 7 498,168 0,000
10	27,528	0,480 211	- 23,472 928 - 5 461,262	982 951,211
20	21,400	0,373 320	- 35,985 959 - 1 699,065	1 075 137,726
30	14,059	0,245 255	- 35,995 075 1 480,583	710 909,312
40	7,642	0,133 307	- 27,555 286 3 094,561	219 422,830
50	3,266	0,056 976	- 16,376 981 3 120,116	- 175 514,415
60	0,982	0,017 127	- 7,097 655 2 128,678	- 355 434,660
70	0,191	0,003 338	- 1,880,643 920,838	- 307 156,892
80	0,006	0,000 110	- 0,245 257 158,891	- 122 835,127
90	0,000	0,000 000	0,000 000 0,000	0,000

Tabulka I - 43



Úpravenou rovnice pro nás případ, dostáváme:

$$\ddot{v} = \ddot{v}_{\max} / 1 - 7 \left(\frac{\theta}{\beta}\right)^2 + 25 \left(\frac{\theta}{\beta}\right)^4 - 96 \left(\frac{\theta}{\beta}\right)^6 + \\ + 35 \left(\frac{\theta}{\beta}\right)^8 - 8 \left(\frac{\theta}{\beta}\right)^{10}, \quad (7,43)$$

Tato rovnice je řešena stejně jako rovnice (8,41) a (7,42). Výsledky řešení jsou uvedeny v tabulce I - 43.

Výpočet úhlové rychlosti vrcholu.

Derivováním rovnice (7,43) podle času, dostáváme:

$$\dot{\theta} = \omega \cdot \ddot{v}_{\max} \left(- \frac{14}{\beta^2} \theta + \frac{140}{\beta^4} \theta^3 - \frac{280}{\beta^6} \theta^5 + \right. \\ \left. + \frac{210}{\beta^8} \theta^7 - \frac{57}{\beta^{10}} \theta^9 \right) \quad (8,43)$$

Výpočet úhlového zrychlení vrcholu.

$$\ddot{\theta} = \omega^2 \cdot \ddot{v}_{\max} \left(- \frac{14}{\beta^2} + \frac{420}{\beta^4} \theta^2 - \frac{1120}{\beta^6} \theta^4 + \right. \\ \left. + \frac{1050}{\beta^8} \theta^6 - \frac{356}{\beta^{10}} \theta^8 \right) \quad (9,43)$$

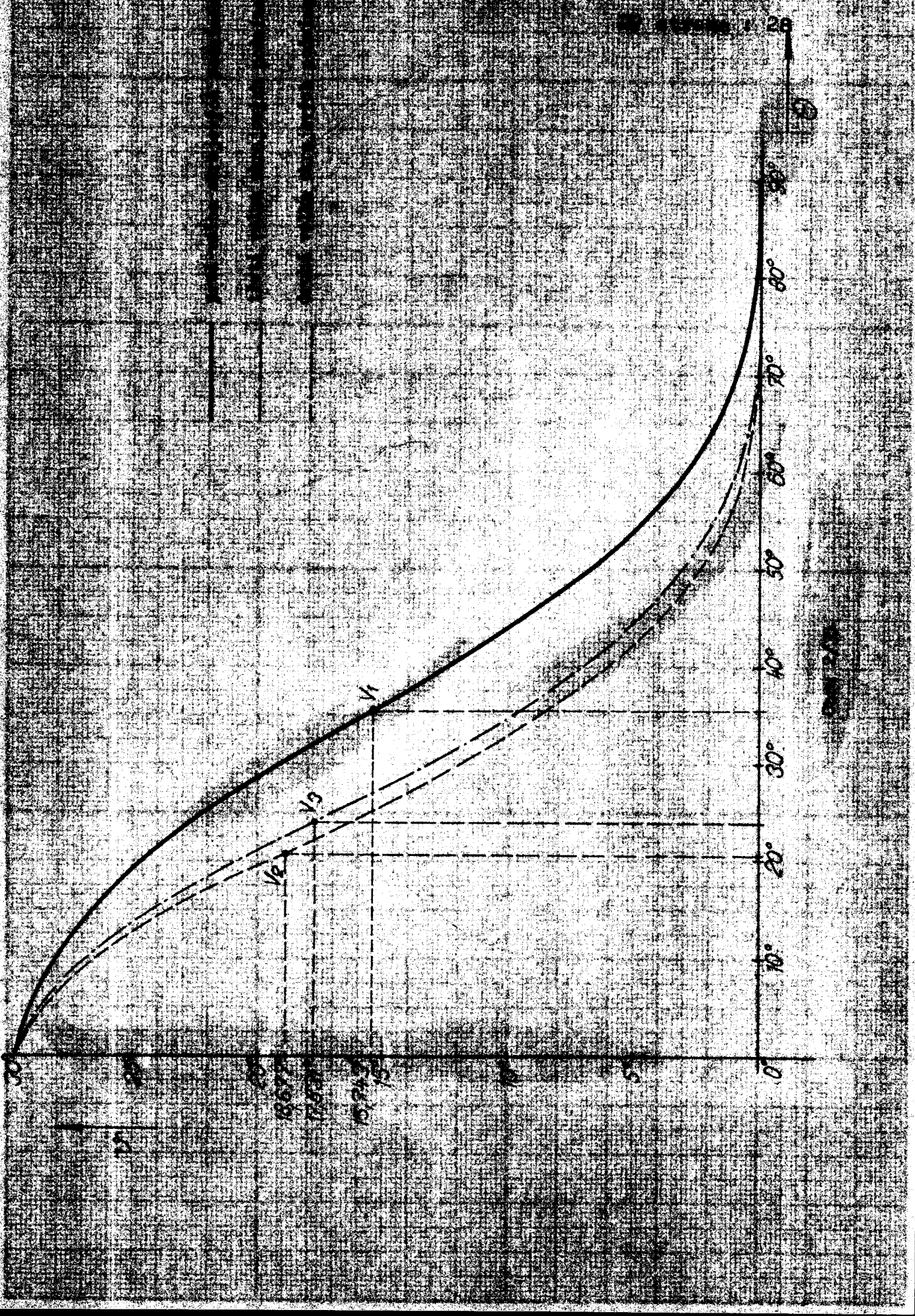
Výpočet pulsu.

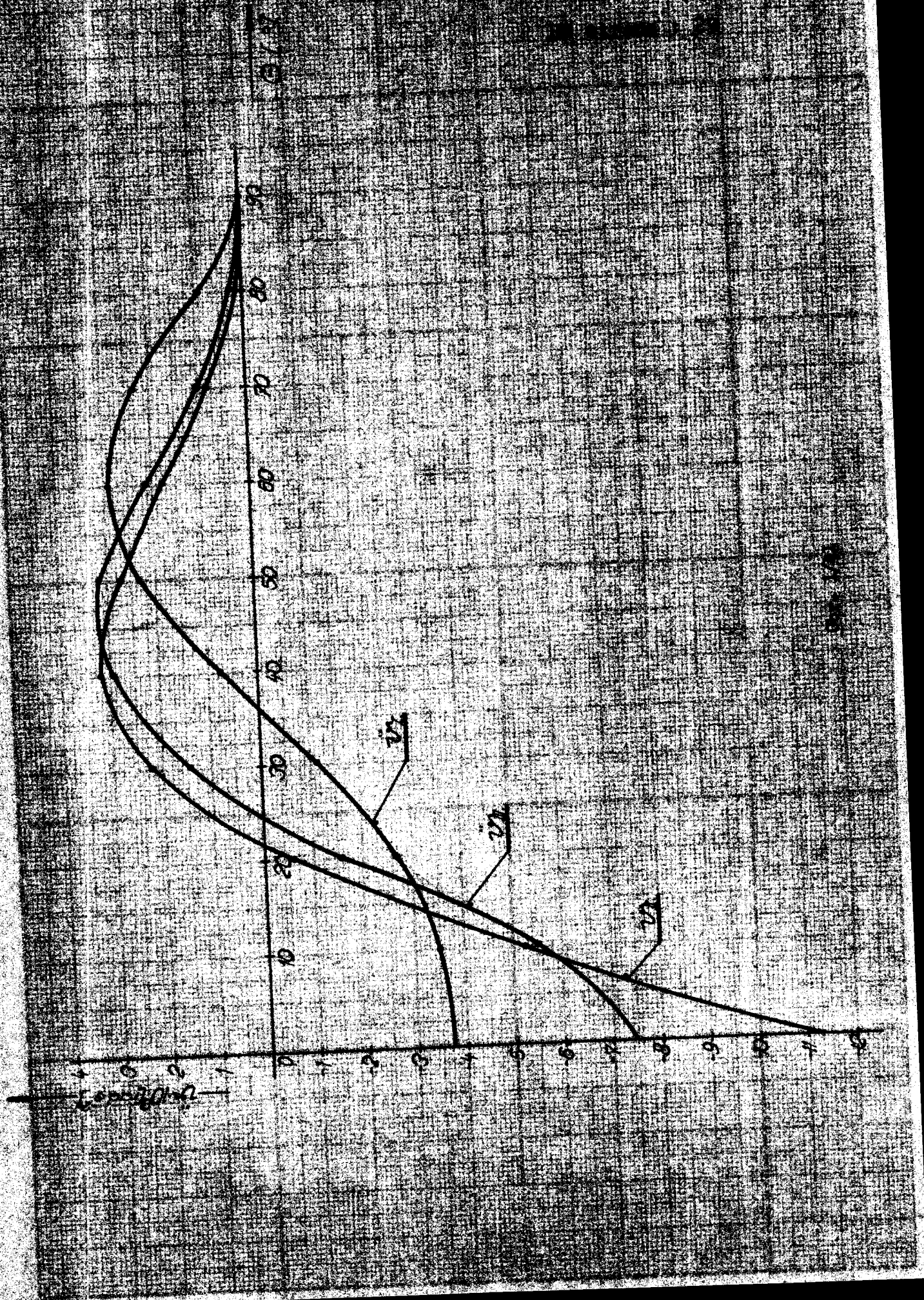
$$\ddot{\theta} = \omega^3 \cdot \ddot{v}_{\max} \left(\frac{240}{\beta^4} \theta - \frac{2200}{\beta^6} \theta^2 + \frac{4200}{\beta^8} \theta^4 - \right. \\ \left. + \frac{1650}{\beta^{10}} \theta^6 \right) \quad (10,43)$$

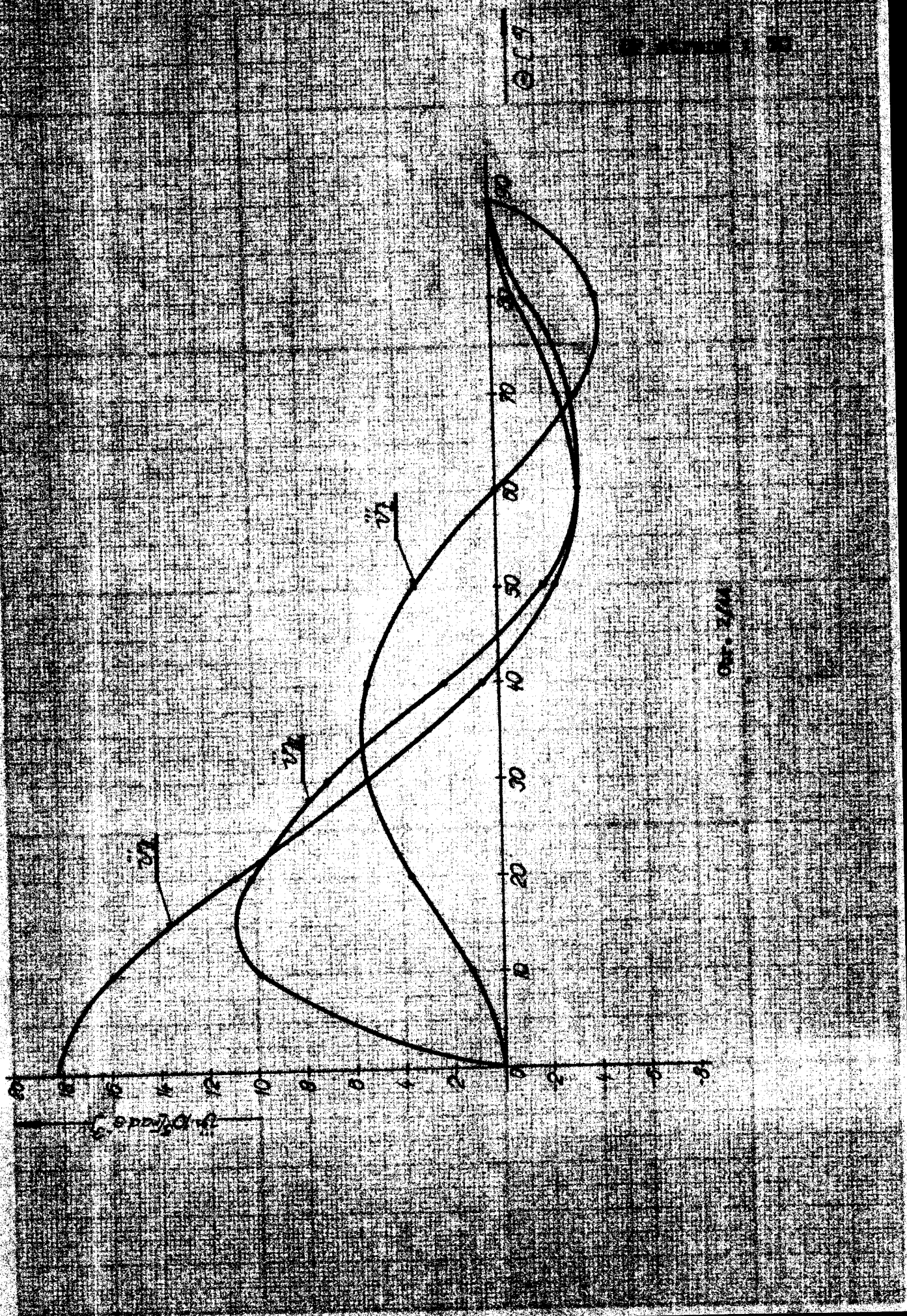
Výpočet úhlové rychlosti, úhlového zrychlení a pulsu je prováděn stejně jako v předešlých případech. Výsledky řešení jsou uvedeny v tabulce I - 43.

4.4. Zmocnění srovnání s výsledky

Pro porovnání jednotlivých průběhu sázek, rychlosti, zrychlení a pulsu, je vhodné tyto vyjádřit graficky.







Na obr. 2/35 je graficky vyjádřena možnost mezi poctočením vahadla a pohybem volky. Z hlediska plnění plochy pod křivkou závislosti se zdá nevhodnější první volba okrajových podmínek.

Grafická závislost dlejové rychlosti ohlavové krychlinky a pulsu pro jednotlivé volby okrajových podmínek je ukonstruována na obr. 2/41, 1/42 a 1/43.

Na obr. 1/44 a 2/44 jsou pro porovnání zkresleny průběhy ohlavových rychlostí a pulsu pro všechny tři volby okrajových podmínek. Zde je patrné, že nevhodnější průběh dlejí první volby.

4.5. Mechanický model sítka kružnic $2^{\circ} = \varphi$ (8)

Druhá možnost volby okrajových podmínek

Při inflexním bodě plstí:

Je-li $\ddot{\varphi}''(\varphi_0) = 0$ a $f'''(\varphi_0) \neq 0$, pak když φ_0 je inflexním bodem funkce $f(\varphi)$.

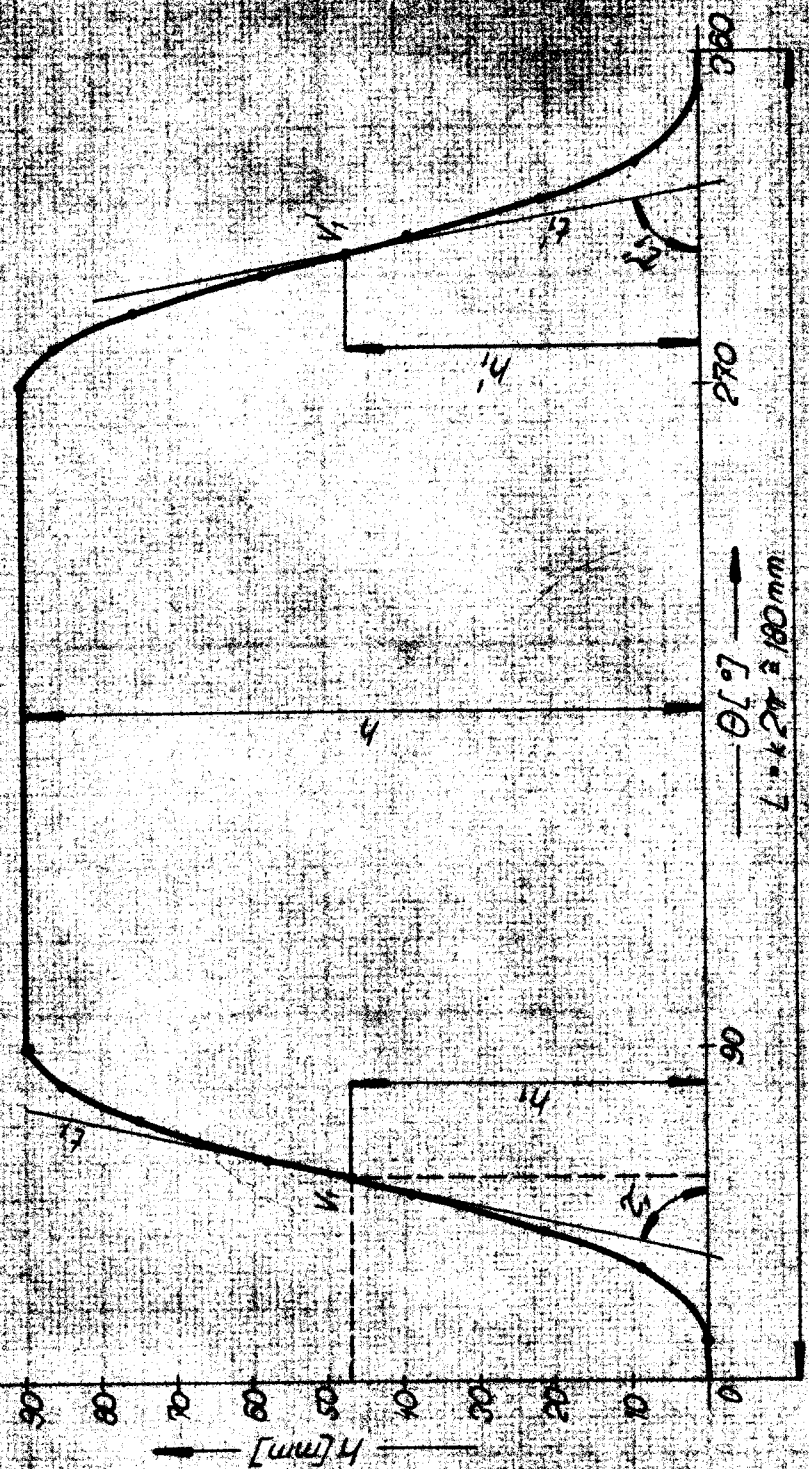
V něm případě postupujeme tak, že určíme druhou derivaci rovnice (8,41) a polozíme ji rovnu nule.

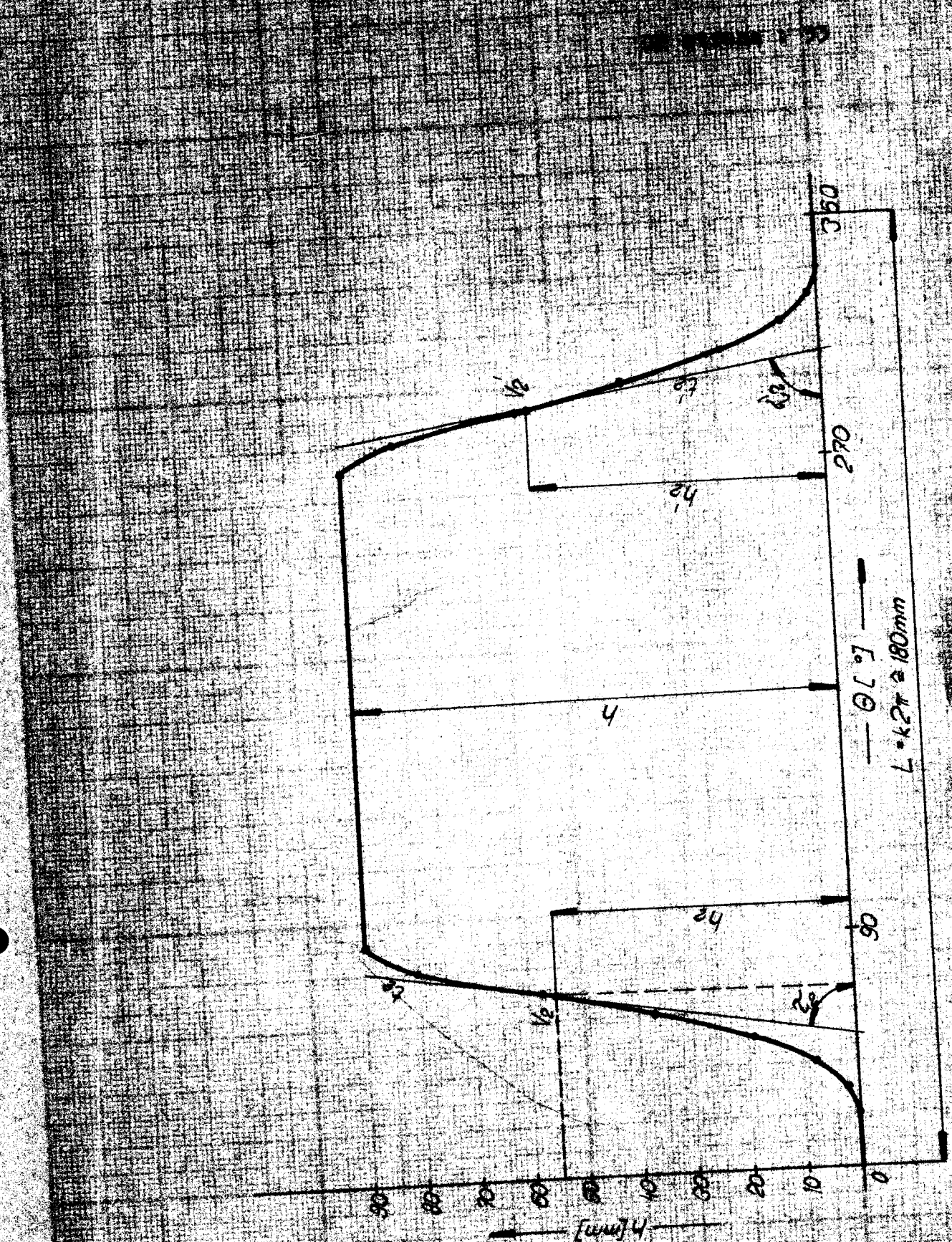
$$\ddot{\varphi} = \omega^2 \varphi \quad \text{resp. } \left(-\frac{7}{\beta^2} + \frac{252}{\beta^5} \varphi^3 - \frac{525}{\beta^7} \varphi^5 + \frac{252}{\beta^7} \varphi^7 \right) = 0 \quad (1,45)$$

Nařízli se rovnice (1,45) rovnou nule, musí platit, že výraz v kubaté sítovce je rovnou nule.

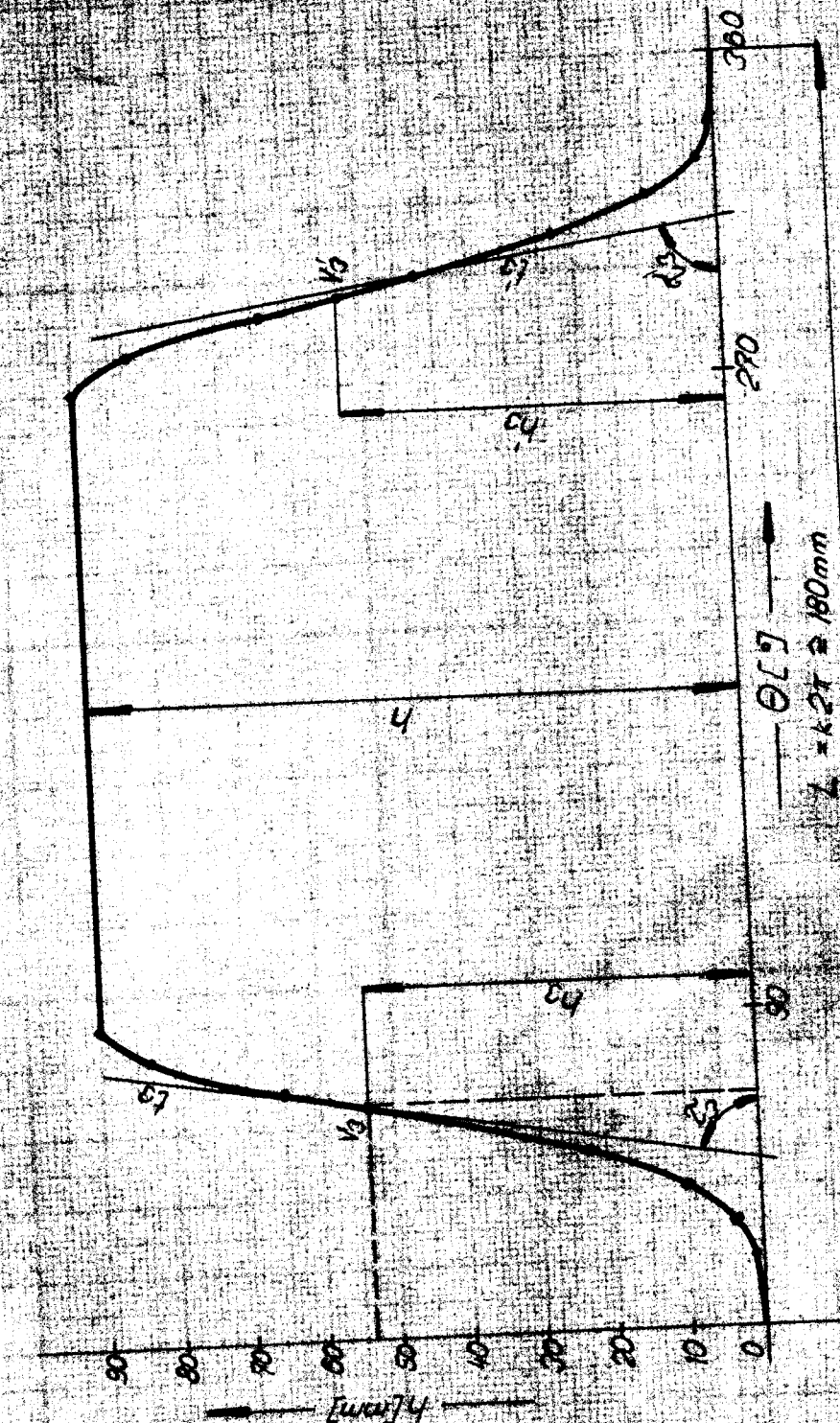
$$-\frac{7}{\beta^2} + \frac{252}{\beta^5} \varphi^3 - \frac{525}{\beta^7} \varphi^5 + \frac{252}{\beta^7} \varphi^7 = 0 \quad (2,45)$$

K určení kořenů rovnice (2,45) je možné použít některou z numerických metod. V tomto případě je použita metoda regula falsi. Tento metoda lze řešit rovnicí $f(x) = 0$ ($f(x)$ je radikál spojité funkce v nějakém intervalu I), jestliže mají dvě





$L = k \cdot 2\pi \approx 180 \text{ mm}$



čísla $x_0 \leq x_1$ (* tohoto intervalu), pro něž $f(x_0)$
a $f(x_1)$ mají opačnou směrnici.

Potom si postupně vypočteme čísla x_2, x_3, \dots ,
takto:

Položíme

$$x_2 = \frac{x_0 f(x_1) - x_1 f(x_0)}{f(x_1) - f(x_0)} \quad (3,45)$$

Je-li $f(x_2) = 0$, jsme hotovi. Je-li $f(x_2) \neq 0$,
počítáme x_3 atd. [3]

V našem případě volíme:

$$\theta_0 = 0,7 \quad --- \quad f(\theta_0) = 0,612 781$$

$$\theta_1 = 0,6 \quad --- \quad f(\theta_1) = -0,209 512$$

$$\theta_2 = \frac{\theta_0 f(\theta_1) - \theta_1 f(\theta_0)}{f(\theta_1) - f(\theta_0)} = 0,625 462$$

$$f(\theta_2) = 0,005 405$$

$$\theta_3 = \frac{\theta_1 f(\theta_2) - \theta_2 f(\theta_1)}{f(\theta_2) - f(\theta_1)} = 0,625 056$$

$$f(\theta_3) = 0,000 000$$

Dosazením θ_3 do rovnice (3,41) dostaneme druhou souřadnici inflexního bodu.

$$\begin{aligned} v_3 &= 0,523 (1 - 1,419 936 \cdot 0,390 695 + \\ &\quad + 1,467 674 \cdot 0,099 410 - \\ &\quad - 1,168 591 \cdot 0,039 696 + \\ &\quad + 0,255 184 \cdot 0,037 276) = 0,274 625 \end{aligned}$$

Souřadnice inflexního bodu V_1 v rad.

$$(0,625 056; 0,274 625)$$

Souřadnice inflexního bodu V_1 ve stupních

$$(35,831; 15,743)$$

4.6. Určení inflexního bodu průběhu $\vartheta = f(\alpha)$
pro druhou volbu okrajových podmínek

Postupujeme obdobně jako v předchozím případě.
Pro stručnost není uveden celý výpočet, ale pouze
výsledky.

Souřadnice inflexního bodu V_2 v radiánoch
(0,377 198; 0,325 806)

Souřadnice inflexního bodu V_2 ve stupních
(21,623; 18,677)

4.7. Určení inflexního bodu průběhu $\vartheta = f(\beta)$
pro třetí volbu okrajových podmínek

Stejně jako v předchozím dostáváme:
Souřadnice inflexního bodu V_3 v radiánoch
(0,453 277; 0,311 047)

Souřadnice inflexního bodu V_3 ve stupních
(24,837; 17,871)

**5. VLIY POLOMĚRU r_{min} ZÁKLADEJ KRUŽNICE
VAČKY NA SPRÁVNOU FUNKCI VÁČKOVÉHO
MECHANISMU**

Minimální polomér zakládající kružnice r_{min} má
vedle celkového zdvihu a úhlu počítání vačky znač-
ný vliv na úhel tlaku μ , který ovliví směr pohy-
bu zdvihače a taženou v libovolném bodě profilu vač-
ky. Čím větší je úhel tlaku μ , tím lepší jsou
pracovní podmínky, díky tomuže síle P_y , kterou
působí vačka na zdvihač, vzrůstá s rostoucím úhlem
 μ při stejném momentu vačky.

Cím větší bude r_{\min} , tím větší vyjde úhel μ . Proto se snadno volit r_{\min} velké, aby bylo dosaženo lepších pracovních podmínek vačkového dvojkolí. Nevýhoda je v tom, že vačka vychází větší, těžší a tím i dražší. V praxi se volí úhel tlaku μ většinou asi 60° . Tuto hodnotu však není třeba přesně dodržovat, můžeme se od ní odchylit, aniž by tím zhoršil funkce vačkového mechanismu. Čím menší jsou rychlosť a hmota člena obecné kinematické dvojice, tím spíše můžeme volit μ menší. Je však důležité, aby minimální úhel tlaku μ_{\min} nebyl menší než 45° .

Po určení r_{\min} byly vypočteny inflexní body průběhu $v = f(\theta)$. Dále je nutné určit úhel, který svírá tečna, vedena bodem obvodu obrotu s osou 0. Pomoci tokatu úhlu, je již možno graficky sestrojit minimální poloměr základní kružnice r_{\min} .

5.1. Určení r_{\min} pro první volbu okrajových podmínek

Nejdříve je nutno, aby bylo v inflexním bodě V_1 , průběhu sestrojeného podle vztahu (8,41) určeno úhlo τ , který svírá tečna s osou 0.

Další postup je zřejmý z připojeného obr. 1/51.

Na oblések AB, který představuje zdvihu h, přeneseme ze zdvihové čáry (obr. 2/51) body V_1 , V_1' . V našem případě, poněvadž je zdvihová asynchronost symetrická, oba body splývají. Bod V_1 přísluší čas-tečnému zdvihu h_1 , který se rovná:

$$h_1 = \frac{v_2}{v_{max}} \cdot h = \frac{0,274625}{0,525} \cdot 90 = 47,259 \text{ [mm]}$$

Bod V_1 spojíme přímou se středem počátkem
ní vahadla M a na tuto přímku užeseme z bodu V_1
úsečky k. $\text{tg } \tau_1$ a k. $\text{tg } \tau_1'$. V našem případě
jsou obě úsečky stejně dlouhé.

Hodnotu k určíme z obrazu 2/51.

Vlasti:

$$L = k \cdot 2\pi = 180 \text{ [mm]}$$

$$k = \frac{180}{2\pi} = 27 \text{ [mm]}$$

Z bodů V_1 a V_2 vedeme pepraky pod úhlem μ_k
(v našem případě voleno $\mu_k = 45^\circ$) ke směru po-
loměru V_1M vahadla. Tyto přímky se protinají v bo-
dě O_k ; prodloužíme-li je dál, vznikne nám vyhra-
fováná plocha. Sřed otěžení vačky volíme v této vy-
hrafováné ploše tak, aby díhal \mathcal{P} , který svírají
přímky V_1M a V_1O , byl pokud možno 90° . Přenos sil
z vačky na hranec člen je pak nejpříznivější.
V našem případě bod O slyšá s bodem O_k . Minimální
poloměr zdolaření kružnice vačky r_{\min} je roven vzdé-
lenosti mezi bodem O a nejbližší polohou vahadla
A a je 70 mm. [4]

5.2. Určení r_{\min} pro druhou volbu okrajových podmínek (viz obr. 1/52)

Postup je stejný jako v předešlém případě,
proto je uváden pouze výsledek.

$$r_{\min} = 112 \text{ mm}$$

Závěr: Z konstrukčních důvodů je nejvhodnější
 $r_{\min} = 70 \text{ mm}$, který byl zjištěn pro první
volbu okrajových podmínek. Poloměr
 $r_{\min} = 112 \text{ mm}$ zjištěn pro druhou volbu
okrajových podmínek je příliš velký.

Pro třetí volbu okrajových podmínek nebyla konstrukce r_{min} provedena, protože jak je patrné z obr. 1/53 jsou jak poloha bodu V_3 tak i úhel φ , též shodné jako pro druhou volbu okrajových podmínek.

6. VÝPOČET PROFILU VAČKY

Pro stanovení poloh obráběcího nástroje je třeba vypracovat tabulku poloměrů vačky v jednotlivých ohledech. Je výhodné změnit prevoduhlen souřadnicovou soustavu na polární, která dává vztah přesnost profilu. Vypočty mají být provedeny pro vztah počet desetinných míst než je neobytné pro praktickou aplikaci. Obvykle má nástroj tentýž průměr jako kladka zdvižáku, protože je to početně jednodušší. Vačka je potom obráběna na jednoúdlovém stroji, přičemž je užíváno posuvu od bodu k bodu. Vytvořený povrch má nerovnosti, obloučky po nástroji. Velikost obloučků a přesnost práce jsou určovány počtem posuvů (jejich velikostí).

Pro přesné vačky je nutno volit posuvy max. do $0,5^\circ$.

6.1. Váha a vlnadlo a kladkou

V počáteční poloze mechanismu jsou dány míry l , m , r_p , r_k . Při pootečení vačky o úhel θ nabude vlnadlo v reciprokém pohybu polohu AM a úhel β se zvětší o hodnotu φ . V našem případě máme dánou zdvihovou závislost mezi pootečením θ vačky a pootečením φ vlnadla.

$$\varphi = f(\theta)$$

$$(1.61)$$

Číslovaný výpočet polárních souřadnic r , φ
drahy e středu kladítky v reciprokém pohybu pro-
váděme pro prostupně volené hodnoty ohně o podle
těchto vztahů (viz obr. 1/61).

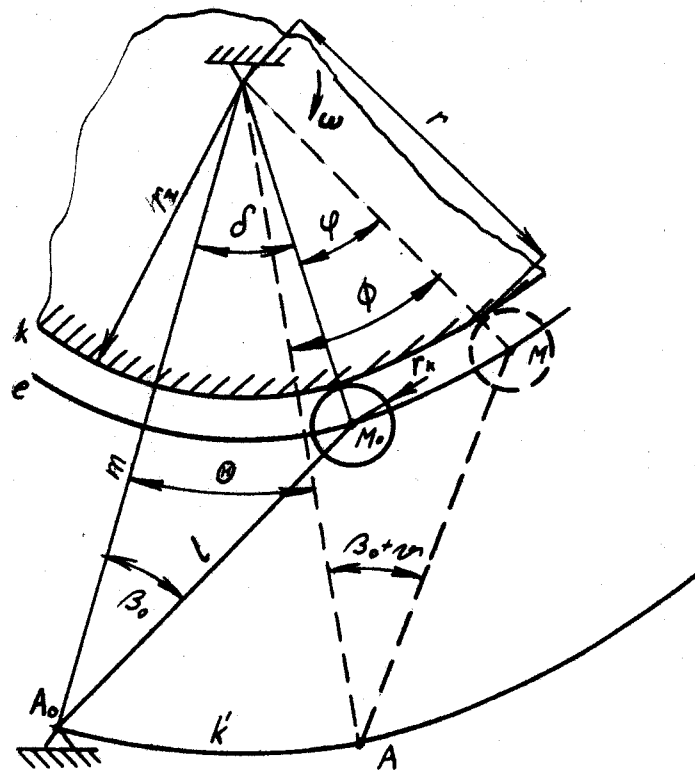
$$(r_s + r_k)^2 = m^2 + l^2 - 2 m l \cos \beta_0 \quad (2,61)$$

$$\frac{\sin \delta}{\sin \beta_0} = \frac{l}{r_s + r_k} \quad (3,61)$$

$$r^2 = m^2 + l^2 - 2 m l \cos (\beta_0 + \nu) \quad (4,61)$$

$$\frac{\sin \phi}{\sin (\beta_0 + \nu)} = \frac{1}{r} \quad (5,61)$$

$$\varphi = \phi + \Theta - \delta \quad (6,61)$$



Obr. 1/61

Počet výpočtu:

z rovnice (2,61), (3,61) určíme konstantní úhly
 β_0 , δ . S použitím hodnot úhlu ν pro volenou
 θ z rovnice (1,61) dostaneme z rovnice (4,61) po-
lárni souřadnice r. Po určení pomocného úhlu ϕ
z rovnice (5,61) plyne následně z rovnice (6,61) po-
lárni souřadnice φ .

V našem případě máme dány tyto hodnoty:

$$l = 64 \text{ mm}$$

$$m = 140 \text{ mm}$$

$$r_s = 70 \text{ mm}$$

$$r_k = 50 \text{ mm}$$

Po dosazení těchto hodnot do rovnice (2,61),
(3,61) dostaneme

$$\beta_0 = 41^\circ 19'$$

$$\delta = 26^\circ 15'$$

Výpočet polárních souřadnic r, φ byl pro-
váděn, protože nebylo možno použít samodinného
počítače, pro úhel pootočení vačky θ od 0° až 90°
po deseti stupních.

Ovšem pro požadovanou toleranci $\pm 0,02 \text{ mm}$ je potre-
ba určit souřadnice r, φ v jemnějším dělení a to
po dvaceti minutách.

Výsledky jsou přehledně uvedeny v tabulce I - 61.

6.2. Transformace polárních souřadnic druh ekvidistant

V případě, že obráběcí nástroj má jiný průměr
než kladka zdviháku, je nutno transformovat souřad-
nice ekvidistanty středu kladky na souřadnice druh-
hy středu frézy nebo brusného kotouče.

α''	$\beta_0 + \vartheta$	$\cos (\beta_0 + \vartheta)$	$\sin (\beta_0 + \vartheta)$	$r_z + r_k [mm]$	$\sin \phi$	ϕ	φ
0	71°19'	0,32 178	0,94 731	134,380	0,472 38	28°11'	1°54'
10	70°01'	0,34 199	0,93 967	132,941	0,473 57	28°16'	12°01'
20	66°18'	0,40 194	0,91 567	128,643	0,476 90	28°29'	22°14'
30	60°45'	0,48 660	0,87 248	122,160	0,678 72	28°35'	32°20'
40	54°27'	0,58 141	0,81 361	114,812	0,474 79	28°21'	42°06'
50	48°40'	0,66 044	0,75 088	108,163	0,465 12	27°43'	51°28'
60	44°25'	0,71 425	0,69 983	103,393	0,453 50	26°58'	60°43'
70	42°07'	0,74 178	0,67 064	100,862	0,445 43	26°27'	70°12'
80	41°34'	0,74 819	0,66 349	100,265	0,443 36	26°19'	80°04'
90	41°29'	0,75 101	0,66 022	100,000	0,442 35	26°15'	90°00'

Tabulka I - 61

Jestliže se jedná o vačku danou v polárních souřadnicích, půjde o transformaci polárních souřadnic ekvidistanty středu kladíčky na polární souřadnice středu nástroje.

Majme dva ekvidistanty k_1 a k_2 z nichž k_1 je určena rovnicí

$$r_1 = r_{1x} \cdot f(\varphi_1) \quad (1,62)$$

Jde nám o určení polárních souřadnic r_2 , φ_2 křivky k_2 , jíž patří kružnice r_{2x} .

Uvažujeme libovolné sobě odpovídající body M_1 , M_2 a zavedeme pomocné míry

$$m = r_{2x} - r_{1x}, \varepsilon, \overline{OP}_1 = r_1'$$

Platí, že míra r_1' , která ji subnormálu ekvidistanty k_1 je dána její derivací v bodě M_1 (obr. 1/62).

$$r_1' = \frac{dr_1}{d\varphi_1} = r_{1x} \cdot f'(\varphi_1) \quad (2,62)$$

S použitím vztahu (2,62) můžeme vyjádřit úhel ε z následujících vztahů

$$\tan \varepsilon = \frac{r_1'}{r_1}$$

$$\cos \varepsilon = \frac{r_1}{\sqrt{r_1^2 + r_1'^2}} \quad (3,62)$$

$$\sin \varepsilon = \frac{r_1'}{\sqrt{r_1^2 + r_1'^2}}$$

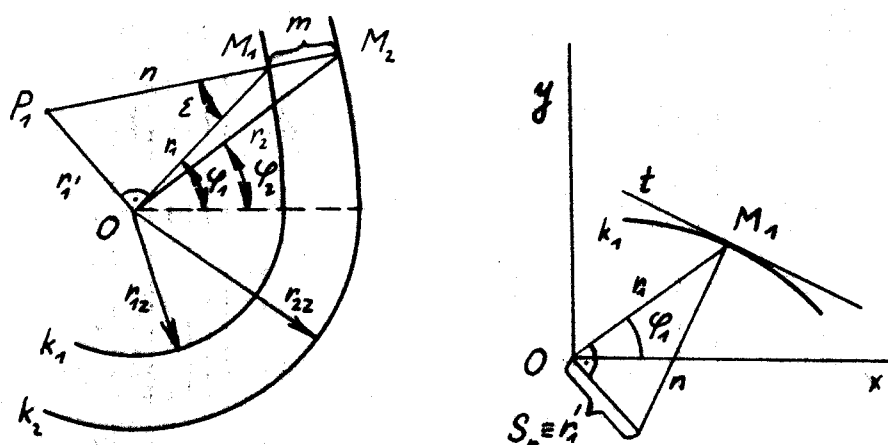
Dále podle obrazu (1/62) platí:

$$r_2 = \sqrt{r_1^2 + m^2 + 2 r_1 m \cos \varepsilon} \quad (4,62)$$

$$\frac{E}{\sin(\varphi_1 - \varphi_2)} = \frac{r_2}{n} \quad (5,62)$$

$$\varphi_2 = \varphi_1 + \arcsin\left(\frac{n}{r_2} \sin E\right) \quad (6,62)$$

Za vztahu (6,62) jiné hodnoty pro libovolné r_2
určit φ_2 . [6]



Obr. 1/62

6.3. Křivost vzdíle

V západě může být dodržována relace mezi poloměry křivosti vrcholu vačky a průměrem nástroje (svodidla). Křivost nemá být menší než poloměr kladky svodidla a pro nástroj platí, že jeho průměr nemá být větší, než rovn průměru kladky svodidla. Poloměry křivosti je nutno znát také pro určení kontaktních napětí. Křivka, jejíž tvoří bok vačky je dána tehnikou v polárních souřadnicích r, φ (profil), Poloměry křivosti v jednotlivých bodech boku vačky dostaneme ze vztahu

$$\rho = \frac{(r^2 + r'^2)^{\frac{3}{2}}}{r^2 + 2r - r \cdot r''} \quad [m] \quad (1,63)$$

Vzhledem k tomu, že nebylo možno počítit ohodnoceného počítat se je vypočtena pouze hodnota ρ mm.

7. DYNAMICKÉ ŘEŠENÍ

7.1. Moment odvraťnosti

Ko sjištěním kinematickým veličinám je nutno kromě váhy bidla znát ještě jeho moment odvraťnosti. Nejprve je nutno sjistit težistě kyvného článku. Postupujeme tak, že dvojím zavěšením získáme těžnice y , x a v jejich přesectí je težistě ve vzdálenosti i od osy kyva.

Pro naši případ výška $i = 4,2$ cm ✓

Souřadnice težistě $x_0 = 3,1$ mm
 $y_0 = 2,84$ mm

Když máme težistě bidla a známe jeho váhu (22 kg) můžeme již počítat sjistit jeho moment odvraťnosti k ose kyva. [5]

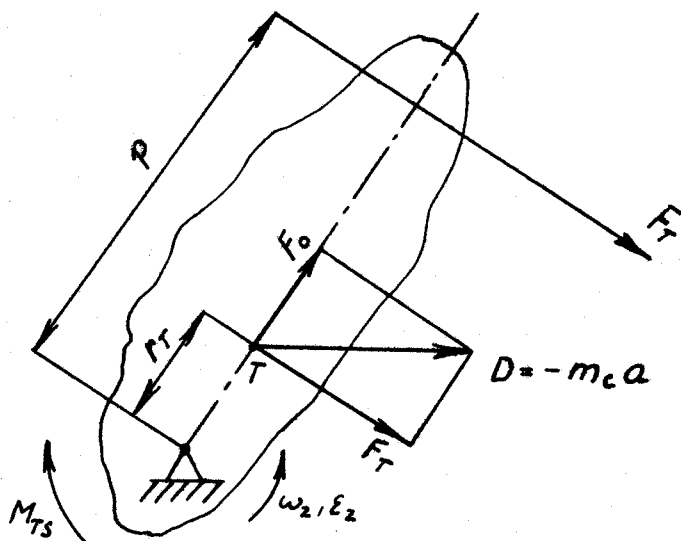
$$I = \left(\frac{\rho}{x \cdot n} \right)^2 G \cdot i \quad (1,71)$$

Máme dan t vrcholového počtu n kyva.
 V našem případě moment odvraťnosti bidla vychází

$$I = 0,236 \text{ [kgm]} \quad 0,236 \text{ [kgm]} \quad 1/2$$

Moment odvraťnosti má na dynamiku bidla zásadní vliv. Jeho velikost je dána hmotou povrchu a specifickou vahou materiálu použitých k výrobě bidla.

7.2. Dynamické účinky na vidlo (obr. 1/72)



Obr. 1/72

Odstředivá síla:

$$F_c = m \cdot a_n \quad [N] \quad (1,72)$$

Pro normální zrychlení platí:

$$a_n = r_x \cdot \omega_s^2 = -\frac{v^2}{r_x} \quad [m \cdot s^{-2}] \quad (2,72)$$

Tangenciální síla

$$F_t = m_c \cdot a_t \quad [N] \quad (3,72)$$

Tedné zrychlení lze určit se vztahem:

$$a_t = r_x \cdot \varepsilon_s \quad [m \cdot s^{-2}] \quad (4,72)$$

Výsledné zrychlení bodu ležícího ve vzdálenosti r_x je:

$$a = \sqrt{a_n^2 + a_t^2} = r_x \sqrt{\omega_s^4 + \varepsilon_s^2} \quad [m \cdot s^{-2}] \quad (5,72)$$

Moment dynamické dvojice

$$M_{TS} = I_0 \cdot \varepsilon_s \quad [Nm] \quad (6,72)$$

Na hrazení je nutné provést tím, že sílu F_T posuneme do vzdálenosti p , odpadí potom M_{BS} .

Vzdálenost p určíme z následujícího:

$$p \cdot F_T = I_0 \cdot \varepsilon_s \quad (7,72)$$

$$p = \frac{I_0 \cdot \varepsilon_{Bz}}{F_T} = \frac{I_0 \cdot \varepsilon_B}{m_0 \cdot r_T \cdot \varepsilon_s} = \frac{I_0}{m_0 \cdot r_T} \quad [\text{m}]$$

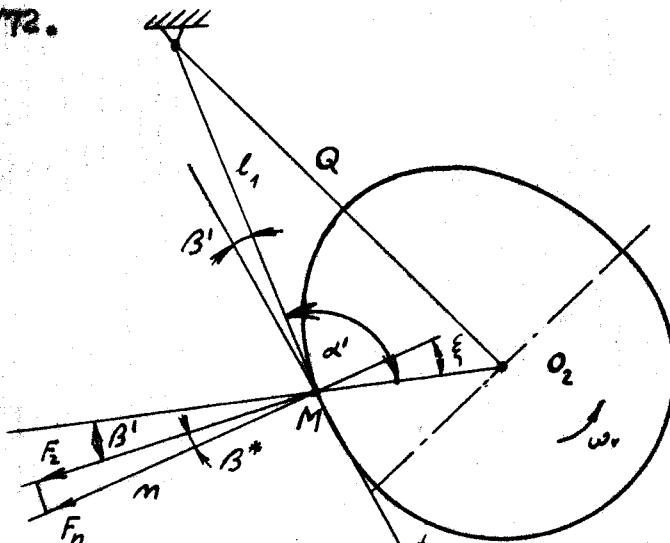
V našem případě vychází:

$$p = \frac{0,256}{22 \cdot 0,042} = 0,437 \quad [\text{m}]$$

Síla F_T namáhá ložisko a ohýbá hřídel, síla F_T zkracuje hřídel a vyvolává normální vadky. Převodeme si tedy sílu F_T do středu svodíku dle vztahu:

$$F_S = \frac{r_T}{l_1} \cdot F_T \quad [\text{N}] \quad (8,72)$$

Dále je nutno si určit normálnou složku síly F_N . Vzorce pro její výpočet je možno odvodit z obr. 2/72.



Obr. 2/72

$$\alpha' = \arccos \frac{l_1^2 + r^2 - Q^2}{2 l_1 \cdot r} \quad [\text{rad}] \quad (9,72)$$

$$\beta' = \alpha' - 1,5708 \quad [\text{rad}] \quad (10,72)$$

$$\beta^* = \xi - \beta' \quad [\text{rad}] \quad (11,72)$$

$$F_N = -\frac{1}{2} \cdot F_Z \cdot \cos \beta^* \quad [\text{N}] \quad (12,72)$$

Z rovnice (12,72) ještě můžeme určit sílu, která působí kolmo na bok vačky. Protože úhel β^* je velmi malý, cos β^* je v tom případě přibližně roven jedné. Můžeme pro výpočet síly F_N , aniž se tím dopustíme velké chyby použít přibližné vztahu

$$F_N = -\frac{1}{2} \cdot F_Z \quad [\text{N}] \quad (13,72)$$

Jedna polovina je zde z toho důvodu, že uvažujeme dvě vačky.

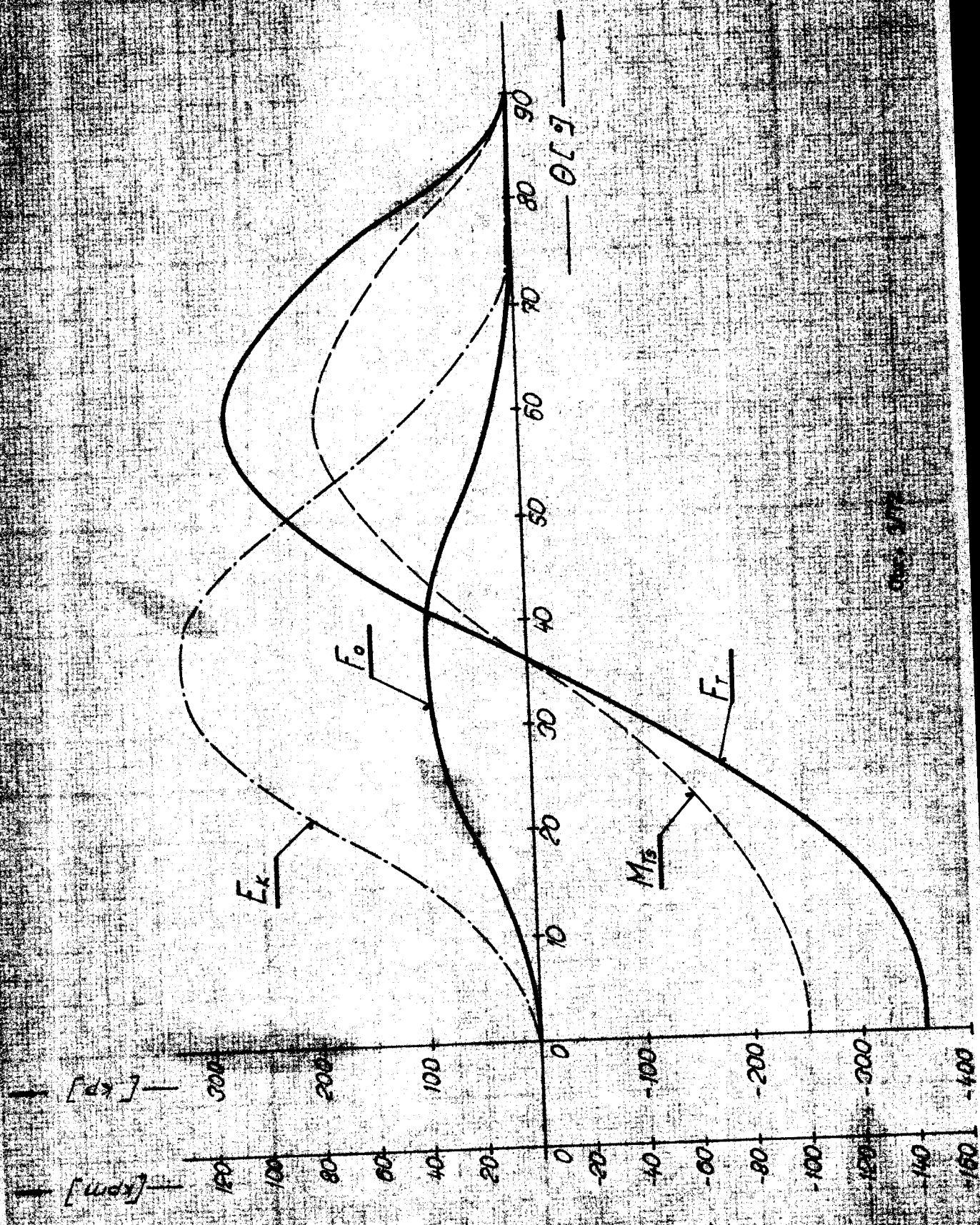
$\theta [^\circ]$	$a_n [m \cdot s^{-2}]$	$a_t [m \cdot s^{-2}]$	$a [m \cdot s^{-2}]$
0	0,00	- 157,46	157,46
10	6,95	- 150,53	150,68
20	24,27	- 134,07	116,62
30	39,97	- 46,66	61,43
40	41,44	32,98	52,95
50	28,00	97,51	101,45
60	11,31	122,44	122,95
70	2,06	97,69	97,71
80	0,07	39,12	33,15
90	0,00	0,00	0,00

tab.: I - 72

Příloha
Dále
je možno
zjistit
vzájemnou
distanci

$\alpha [^{\circ}]$	r_o [mm]	r_t [mm]	d [mm]	M_{FS} [Nm]	r_z [mm]	R_x [Nm]
0	0	- 353	353	- 98	223	0
10	16	- 338	338	- 93	212	21,1
20	54	- 256	262	- 71	163	73,8
30	90	- 105	138	- 28	66	121,7
40	93	74	119	20	48	126,2
50	63	219	228	60	138	85,2
60	25	275	276	76	173	37,9
70	4	219	220	61	138	8,2
80	0,1	88	88	24	54	0,2
90	0	0	0	0	0	0

Tabulka II - 72



Hodnoty normálního srychlení, tečného srychlení a výskoednáho srychlení v částečce bidla jsou přehledně uvedeny v tabulce I - 72.

Dále jsou pro jednotlivé polohy pootočení Θ vačky v rozmezí od 0° do 90° po deseti stupních vypočítány velikosti sil F_x , F_y , D , F_g , dynamického momentu M_{DS} a kinetické energie bidla E_k .

Vypočtené hodnoty jsou shrnutы v tabulce II - 72.

Pro lepší názornost o jednotlivých příložkách jsou na obr. 3/72 zaznamenány závislosti odstředivé síly, tečné síly, dynamického momentu a kinetické energie na pootočení vačky Θ .

7.3. Výpočet Hertzových tlaků na vačku

Aby bylo možno srovnávat vypočtené hodnoty s hodnotami již uváděnou literaturou, převademe si sílu F_H [N] na F_H [kp].

Hertzov tlak má potom rozsíř [kp/cm²].

Rovnice pro převod je

$$F [N] = 0,102 F [kp] \quad (1,73)$$

Známe-li normálnou sílu F_H na vačku, můžeme určit kontaktní napětí. Nejprve předpokládejme přímkový styk (obě části mají vělícový povrch).

Potom

$$p_H = 0,59 \sqrt{\frac{F_H}{\rho}} \cdot \frac{\rho + r_k}{\rho \cdot r_k} \cdot \frac{E_1 \cdot E_2}{E_1 + E_2} \quad [\text{kp}/\text{cm}^2] \quad (2,73)$$

kde značí: ρ = poloměr křivosti vačky [cm]
 r_k = poloměr křivosti kladky [cm]
 b = šířka vačky [cm]
 F_H = kolmý tlak [kp]
 $E_1 = E_2 = 2,15 \cdot 10^6$ [kp/cm^2]

Vypočet provedeme při shedu na prázdro, který je pro mechanismus nejnefouznější. Pro dimensionování mechanismu postačí provedené-li vypočet pro úhel počátku vašky $\theta = 90^\circ$, který odpovídá okamžiku přírezu. V tomto okamžiku má totiž síla F_N maximální hodnotu.

V našem případě dostaneme

$$F_T = p \cdot \varepsilon_3 = 0,487 \cdot 3749 = 1825,8 \text{ [N]}$$

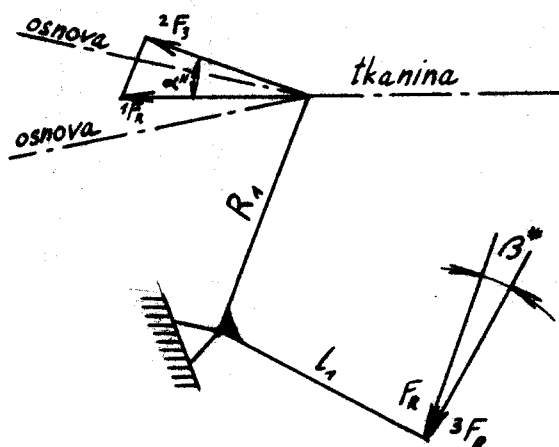
$$F_R = \frac{p}{2} \cdot F_T = \frac{0,487}{0,001} \cdot 1825,8 = 13876 \text{ [N]}$$

$$F_N = \frac{F_R}{2} = 6938 \text{ [N]} = 707,7 \text{ [kp]}$$

$$p_{Hmax} = 0,59 \quad \sqrt{\frac{707,7 \cdot 13,4}{21,12} \cdot 2,15 \cdot 10^6} = \\ = 8734,3 \text{ [kp/cm}^2\text{]}$$

Vidíme, že hodnota p_H je v přijatelných mezech.

Při tkaní hustých tkanin působí v okamžiku přírezu v rovině osnovy síla, která vkládá tkanici odpor 1F_R .



Obr. 1/73

Přetrasformováním této síly do normály k vadce
a odečtením od F_R' dostaneme výslednou sílu F_R ,
která normální vadku v oblasti přírazu. Potřebný
vztah odvodíme z obr. 1/73.

$$^2F_R = ^1F_R \cdot \cos \alpha' \quad (1,73)$$

$$^3F_R = \frac{R_1}{l_1} \cdot ^1F_R \cdot \cos \alpha'' \quad (4,73)$$

$$F_R = ^3F_R \cdot \cos \beta^* = \frac{R_1}{2l_1} \cdot \cos \alpha' \cos \beta^* ^1F_R \quad [N] \quad (5,73)$$

U tkanin, jež přicházejí v úvahu pro tkani
na pneumatických stavech byvá $F_R = 1962 \text{ N}$
na 1 metr šířky

$$F_V = F_N - F_R \quad [N] \quad (6,73)$$

Pro našé konkrétní případ je dána velikost tka-
cího čápu $^1F_R = 350 \text{ kp}$, úhel α'' zjistíme ze se-
staveného výkresu mechanismu v oblasti přírazu.
Zážením byla zjištěna velikost $\alpha'' = 26^\circ$. Dosaže-
ním konkrétních hodnot do vztahů (3,73) a (4,73)
dostáváme sílu 3F_R .

Protože je úhel β^* velmi malý, můžeme $\cos \beta^*$
položit přibližně rovný jedné, takže $^3F_R \approx F_R$.
PMI výpočtu výsledné síly bereme $\frac{l_1}{2}$, protože se
jedná o dvojvadku.

$$^2F_R = 350 \cdot 0,89879 = 314,58 \text{ [kp]}$$

$$^3F_R = \frac{172}{84} \cdot 314,58 = 846,21 \text{ [kp]}$$

$$F_R \approx 846,21 \text{ [kp]}$$

$$F_V = 707,7 - 423,1 = 284,6 \text{ [kp]}$$

Abychom zabezpečili vzniku trv. hranových napětí přímkového styku vačky a svedáku, musíme změnit stykovou přímku na elipsu (v zajištěném stavu).
Zmíněného dosáhneme konzervativním svedáku.

7.4. Dynamické účinky vačkové dvojnice

Při výběrování dynamických účinků na vačce musíme znát velikosti jednotlivých hmot a polohy těžít.

Hmota náboje vačky:

$$m_y = \frac{\pi}{4} \cdot (D_y^2 - D_H^2) \cdot l_y \quad [\text{kg}] \quad (1,74)$$

kde: D_y ... průměr náboje vačky
 D_H ... průměr vačkového křídla
 l_y ... délka náboje vačky

$$D_y = 1,75 D_H + 5 + 6 \text{ mm} \quad (2,74)$$

v našem případě máme dánno $D_H = 55 \text{ mm}$, $l_y = 80 \text{ mm}$.

Dosazením těchto hodnot do vztahu (2/74)

dostávame:

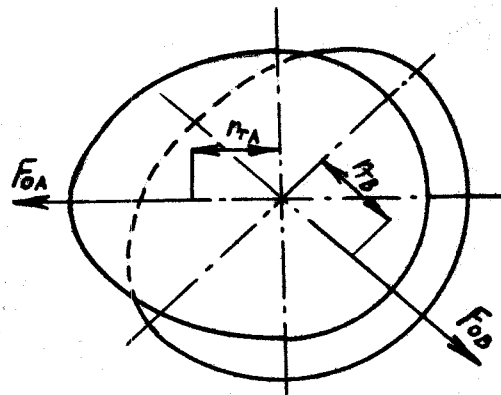
$$D_y = 1,75 \cdot 55 + 5,8 = 100 \quad [\text{mm}]$$

$$m_y = \frac{\pi}{4} \cdot (100 - 50,25) \cdot 8 \cdot 7,8 = 3,417 \quad [\text{kg}]$$

Grafickou metodou byly zjištěny těžitě vačky A a vačky B. (viz obr. 1/74)

$$r_{T_A} = 0,6334 \quad [\text{mm}]$$

$$r_{T_B} = 0,0181 \quad [\text{mm}]$$



Obr. 1/74

$$I_{OA} = m_A \cdot r_{TA}^2 = 5,962 \cdot 0,0114 = 0,068 \quad [\text{kg/m}^2]$$

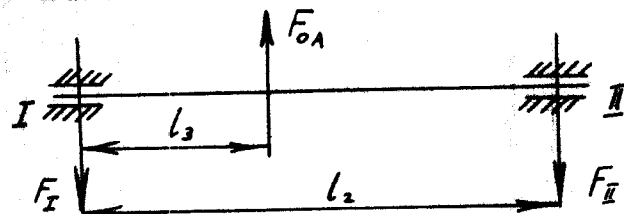
$$I_{OB} = m_B \cdot r_{TB}^2 = 10,752 \cdot 0,0181 = 0,193 \quad [\text{kg/m}^2]$$

$$I_{OV} = \frac{1}{3} \cdot m_V \cdot (D_V^2 + D_H^2) = \frac{1}{3} \cdot 3,417 \cdot 0,013 = \\ = 0,005 \quad [\text{kg/m}^2]$$

$$F_{OA} = m_A \cdot r_{TA} \cdot \omega_V^2 = 5,962 \cdot 0,0114 \cdot 50,24^2 = \\ = 171,552 \quad [\text{N}] = 17,9 \quad [\text{kN}]$$

$$F_{OB} = m_B \cdot r_{TB} \cdot \omega_V^2 = 10,752 \cdot 0,0181 \cdot 50,24^2 = \\ = 491,206 \quad [\text{N}] = 50,10 \quad [\text{kN}]$$

7.5. Výpočet reakcí od vaček



Obr. 1/75

$$F_{OA} \cdot l_3 + F_{II} \cdot l_2 = 0$$

$$F_{OA} \cdot (l_2 - l_3) + F_I \cdot l_2 = 0$$

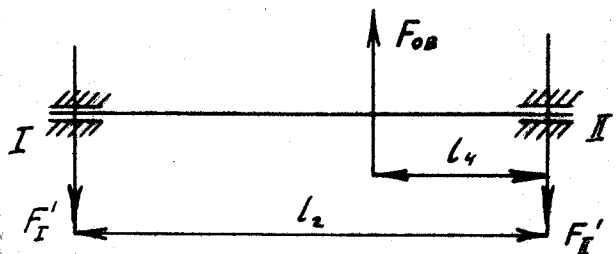
$$F_{II} = \frac{-l_3}{l_2} \cdot F_{OA} \quad [N]$$

$$F_I = -\frac{l_2 - l_3}{l_2} \cdot F_{OA} \quad [N]$$

V našem případě vychází

$$F_I = -\frac{70}{90} \cdot 171,552 = 133,429 \quad [N] = 13,61 \quad [kp]$$

$$F_I' = -\frac{20}{90} \cdot 171,552 = 38,123 \quad [N] = 3,89 \quad [kp]$$



Obr. 2/75

$$F_{OB} \cdot (l_2 - l_4) + F_{II}' \cdot l_2 = 0$$

$$F_{OB} \cdot l_4 + F_I' \cdot l_2 = 0$$

$$F_I' = -\frac{l_2 - l_4}{l_2} \cdot F_{OB} \quad [N]$$

$$F_I' = -\frac{l_4}{l_2} \cdot F_{OB} \quad [N]$$

Dosazení:

$$F_I' = -\frac{20}{90} \cdot 491,206 = 109,157 \quad [N] = 11,13 \quad [kp]$$

$$F_I' = -\frac{70}{90} \cdot 491,206 = 362,049 \quad [N] = 39,87 \quad [kp]$$

$$F_{RI} = \sqrt{F_f^2 + F_f^2} = \sqrt{13,61^2 + 11,15^2} = 17,58 \text{ [kp]}$$

$$F_{R\bar{I}} = \sqrt{F_f^2 + F_f^2} = \sqrt{3,89^2 + 98,97^2} = 99,16 \text{ [kp]}$$

Pro zajištění ložisek vařkového hřídele přichází ještě v úvahu síla od bidla (sctravná síla, tkačí odpór). Za předpokladu rovnosmerného ohodu bude tedy pán bit odstředivá síla vařkové dvojice, v opačném smyslu půjde složka sctravné síly od bidla a současně složka tkačího odporu. To jsou účinky na ložisku vařkové hřídele, které musíme vhodně přeložit do podpor.

8. VÝROBA VÁČEK

V současné době je možno vyrábět váčky buďto na kopirovacích frézkách anebo na frézkách programových.

Konezolové frésky řady PB, které jsou vybaveny řídícím systémem RCP - 1 jsou určeny pro obrábění tvarově členitých soudků, jejichž tvar je možno vyjádřit matematickými vztahy. Informace o tvaru obráběné soudkosti jsou zadávány na děrovaný dálnopisný pásek, kterým jsou pak zadaný jak relativní pohyb nástroje vůči obrubku, tak i ostatní funkce stroje. Vytištěný pásek se vkládá do čtecího zařízení řídícího počítače-lineárního interpolátoru NLI - 3 A. Významnou vlastností číslicového záznamu je velká přesnost, s níž řídící systém pracuje (teoreticky 0,01 mm). Na výslednou přesnost však mají značný vliv technologičtí činitelé, jako rozdíl podmíny, současnost či nesoučasnost pohybu nástroje a posuvu, vlna, poddajnost jednotlivých částí, házení nástroje aj. Při používání přesnosti je třeba rozlišovat:

1. Absolutní přesnost, tj. odchylky rozsáhu obrobku od hodnoty na výkresu,
2. relativní přesnost - odchylky mezi jednotlivými obrobky, resp. mezi různými střenami téhož obrobku.

Absolutní přesnost se pohybuje v nejlepším případě mezi 0,01 - 0,03 mm, běžně 0,05 mm.

Pro sériovou výrobu je vhodnější frézování kopirováním podle šablony. Při dostatečně zvětšené šabloně můžeme dosáhnout větší přesnosti než

v předchozím případě. Kopirovací zařízení byvá elektrokontaktní.

Brušením se vařka snadně predražuje. Je velmi obtížné určit úbytek brušného ketečeře času ; dosud se nám to nepodařilo.

9. SOUČASNÝ STAV V ZABRANIČÍ
A U NÁS

Vačkové bidlo používají tyto firmy pro dané typy tkacích strojů:

<u>Tryskové stroje:</u>	Prince Motors ATP - 120	(Japonsko) (SSSR)
	Maxbo	(Švédsko)
	Sireo	(Kanada)
<u>Sklipové stroje:</u>	Sulzer Textima	(Švýcarsko, USA, SSSR) (NDR)
<u>Jehlové stroje:</u>	Draper Dormier Roscher Iwer Fatax	(USA) (MSR) (MSR) (Španělsko) (Francie)

Tryskové stroje čs. výroby používají klonbových mechanismů. Tyto stroje jsou však dosud stavěny v menších tkacích římsích, a proto se u nich neprojevuje potřeba zvětšení zadní klidové polohy bidla. Je dostatečně užitečné pro u malých tkacích římk vystačit s jednoduchým kloboukovým mechanismem, avšak pro větší stroje je nutné přidat do mechanismu další, tzv. "binární člen", aby byl získáli více času pro zanesení útku. Nejlepšě ke stále nálehnější potřebě použít tzv. "vnitřního mechanismu" pro pohon bidla u širokých strojů, kterým je právě vačkový mechanismus. Ze sklipových strojů zatím pouze čs. Novostav používá klikového pohonu bidla. Jehlové stroje používají kloboukových mechanismů v těch případech, kdy mají probuzní

30. října 1967

Simon Jaroslav

ústrojí učebné na bidle.

Náročnost konstrukce vačky roste s hmotností,
rychlosťí a přenosnosti přenosevého mechanismu.

10. EKONOMICKÉ ZHODNOČENÍ

Byla provedena ekonomická úvaha srovnání kalkulace původního mechanismu a nové navrženého mechanismu pro plánovanou výrobu 2 500 stavů (podle prázdnku generálního ředitelství - ZVS) pro ČSSR bavlnářský průmysl.

Velkoobchodní cena původního mechanismu je podle ceníku výrobního závodu Z-Vsetín 246 Kčs za kus.

Cena navrženého mechanismu je hrubá, byla zjištěna podle kalkulačního vzorce výrobního závodu, tj. Z-Vsetín.

Materiál	15,00 Kčs
Nády	25,25 Kčs
Režis díleneská + celopodniková : : : : : -	157,56 Kčs
Úplné vlastní náklady	197,81 Kčs
Zisková přírůška	<u>35,60 Kčs</u>
	233,41 Kčs

Úspora na 1 ks čini	246,00 Kčs
- 233,41 Kčs	<u>12,59 Kčs</u>

Úspora pro plánovanou výrobu 2 500 stavů	12,59 x 5.000 =
	<u>62.950,00 Kčs</u>

Vzhledem, že se u nás dosud neuskává vačkového mechanismu bidla není možno sahrnout do výpočtu tlaku na utkané látky, které bude kvalitnější vzhledem k dokonalej klidové paleze, kterou můžeme u vačkového mechanismu dosáhnout.

Součet použité literatury:

1. Dudley : New Methods in Valve Cam Design,
Transaction SAE, leden 1948
2. Rothbart : Cams, John Wiley and Sons,
New York 1956
3. Knichal V., Bedta A., Matematika I,
Pisl M., Rektorys K.: SNTL, Praha 1965
4. Grim A.: Grafické řešení vaček pro jedno-
účelové stroje
SNTL, vydání první, Praha 1956
5. Tálařík O.: Konstrukce textilních strojů -
III. část - Tkací stavy -
skripta VŠST, Liberec 1967
6. Charvát J.: Teorie mechanismů -
skripta VŠST, SNTL, Praha 1964
7. Petruš K.: Vačkové mechanismy pro výrobní
stroje,
SNTL, Praha 1962

Současné přílohy:

1. Obr. č. 1/91 - Grafická konstrukce r_{min}
pro první volbu okrajových podmínek
2. Obr. č. 1/92 - Určení r_{min} pro druhou
volbu okrajových podmínek
3. DP 1000 - Vačkový mechanismus bidla
4. DP 1010 - Vážka
5. DP 1020 - Kladka
6. DP 1030 - Kyvná hřídel
7. DP 1040 - Držák
8. DP 1050 - Nezník bidla
9. DP - K - 1000 Knsovník (2 listy)

VŠST LIBEREC
FAKULTA STROJNÍ

30. října 1967

Simon Jaroslav

Děkuji konzultantovi s. Ing Vladimíru Hornovi a ostatním pracovníkům VVÚ-ZVS Brno za cenné připomínky, s. Doc. Ing Oldřichu Talaváskovi a s. Doc. Ing Jaroslavu Charvátovi ze rady při řešení daného úkolu.

VŠST LIBEREC
FAKULTA STROJNÍ

30. října 1967

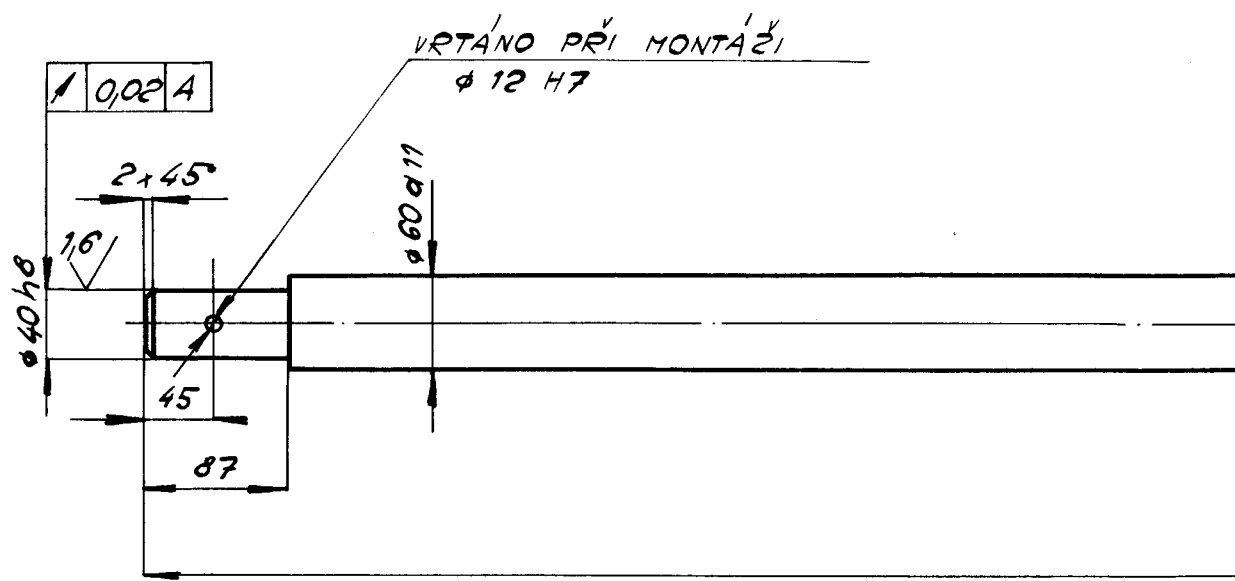
Simon Jaroslav

MÍSTOPRÍSLOVNÉ PROHLÁŠENÍ

Prohlašuji tímto, že jsem vypracoval celou diplomovou práci samostatně.

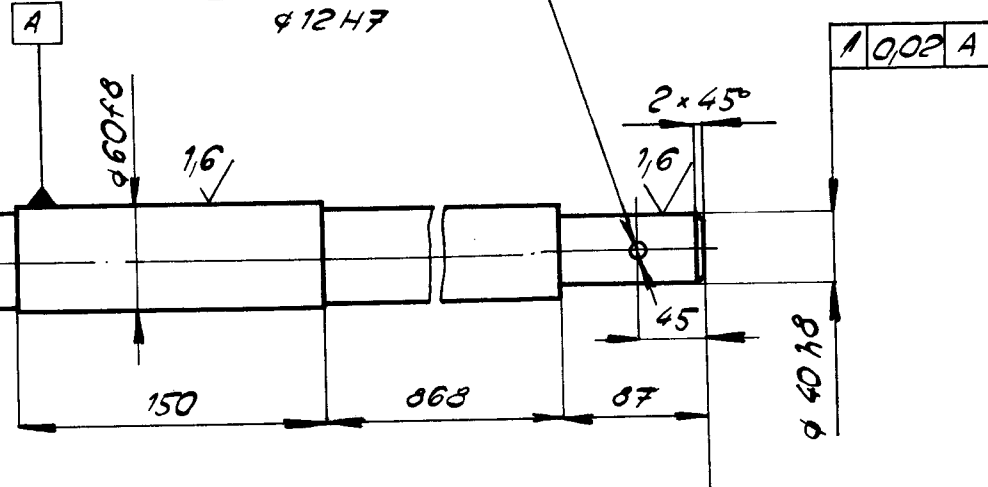
v Liberci 30. října 1967

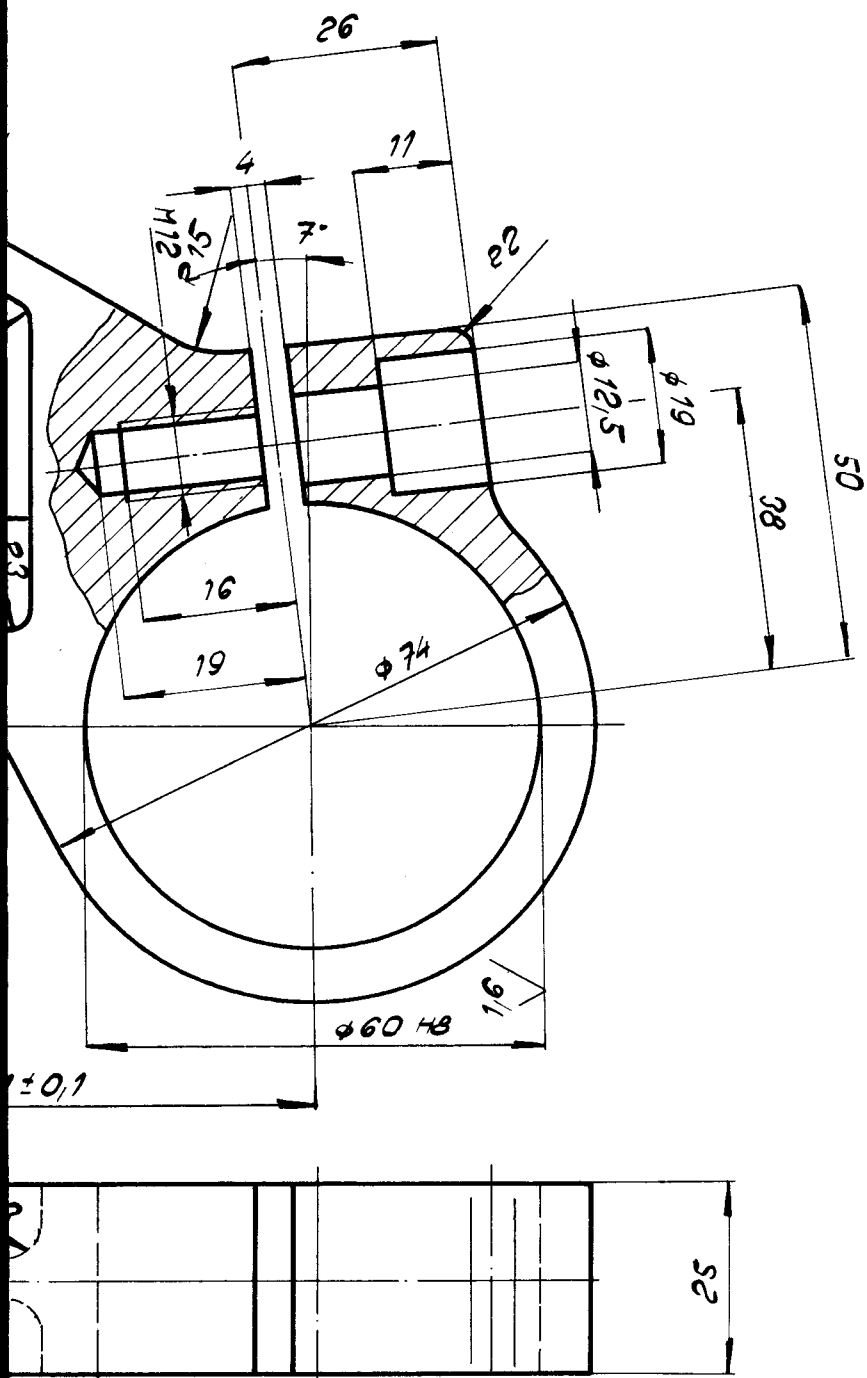
Simon Jaroslav



$6,3$ ✓ | $1,6$ ✓ | $3,2$ ✓

VRTÁNO PŘI MONTÁŽI
812 H7

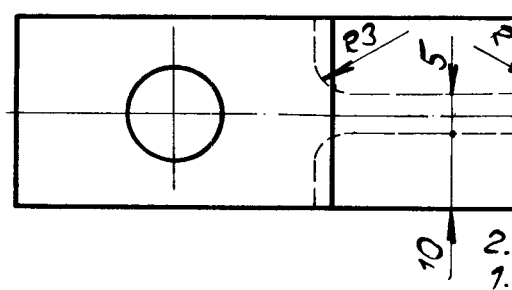
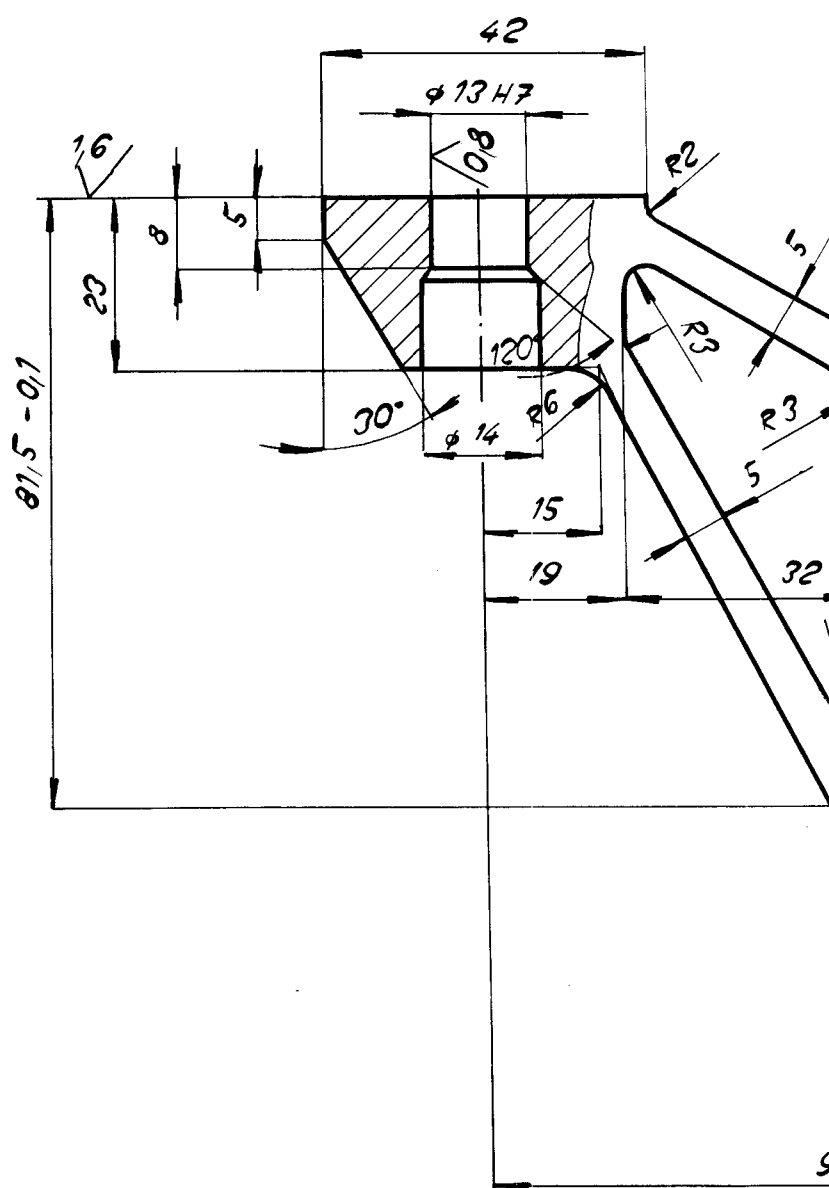




6,3 ✓ | 0,8 ✓ | 1,6 ✓

IRANY SPÄZENY $0,5 \times 45^\circ$
PUSLECHTENO NA $75 \div 90$ kp/mm 2

Material	12 061.3	Pouze	4	C. výkresu zdroj.	DP 1000				
Početovar	□ 100 x 30 ČSN 420076	Tl. odpráde	2	C. výkres					
Měřítko	Kreslí <u>finan</u>	Kategorie zdrojek TP. C. brusac.							
Přesnoučení									
Norm. ref.									
Výr. součas.									
Schválil	Dne								
1:1									
VŠST LIBEREC	Type Název	P 175	Shapeine	Scarf výkres		Nový výkres			
Kreslitr. signatur	DRŽÁK			Cíle výkresu					
Pouze				Pozn. kresl.					



Číslo řádku	Posice		Počet kusů v sest.	Výrobek				označení-stav norma jakostní	číslo
	a	b		název název a označení rozměru	číslo výkresu norma (normativ)	čistá váha 1 ks v kg			
1	2	3	4	5	6	7	8		
1	1		2	Vačka	DP 1010			14 331.2	
2	2		4	Kladka	DP 1020			14 100.3	Ø;
3	3		1	Kvná hřídel	DP 1030			11 600.2	Ø
4	4		6	Držák	DP 1040			12 061.3	
5	5		1	Nosník bidla	DP 1050			42 4203.61	Ø 8
6	6		6	Šroub	DP 1060			11 107.0	Ø 1
7	7		6	Konfuzor - lepící sestava	DP 1070				
8	1	85	Lamela		DP 1071			42 4331.03	odli pod
9	2	1	Žlábek		DP 1072			42 4413.21	
10	8	1	Paprsek - sest.		DP 1080				
11	9	30	Šroub		DP 1090			11 107.0	
12	10	30	Matico		DP 1100			11 107.0	Ø
13	11	30	Podložka		DP 1110			11 600.20	t =
14	12	1	Konzola		DP 1120			42 2418	odli
15	13	1	Hřídel		DP 1130			11 600.2	Ø 6
16	14	2	Hřídel		DP 1140			11.600.2	Ø/ 6
17	15	2	Hřídel bidla		DP 1150			11.600.2	Ø 6
18	16	2	Výkyvné rameno		DP 1160			11 700.1	výkov
19	17	1	Skřín - levá		DP 1170			42 2418	odli
20	18	1	Skřín - pravá		DP 1180			42 2418	odli
21	19	1	Víko - levé		DP 1190			42 2418	odli
22	20	1	Víko - pravé		DP 1200			42 2418	odli
23	21	4	Spojka		DP 1210			11 600.2	Ø 90
24	22	2	Těsnění		DP 1220			těsnící pa- pír SCP	t =

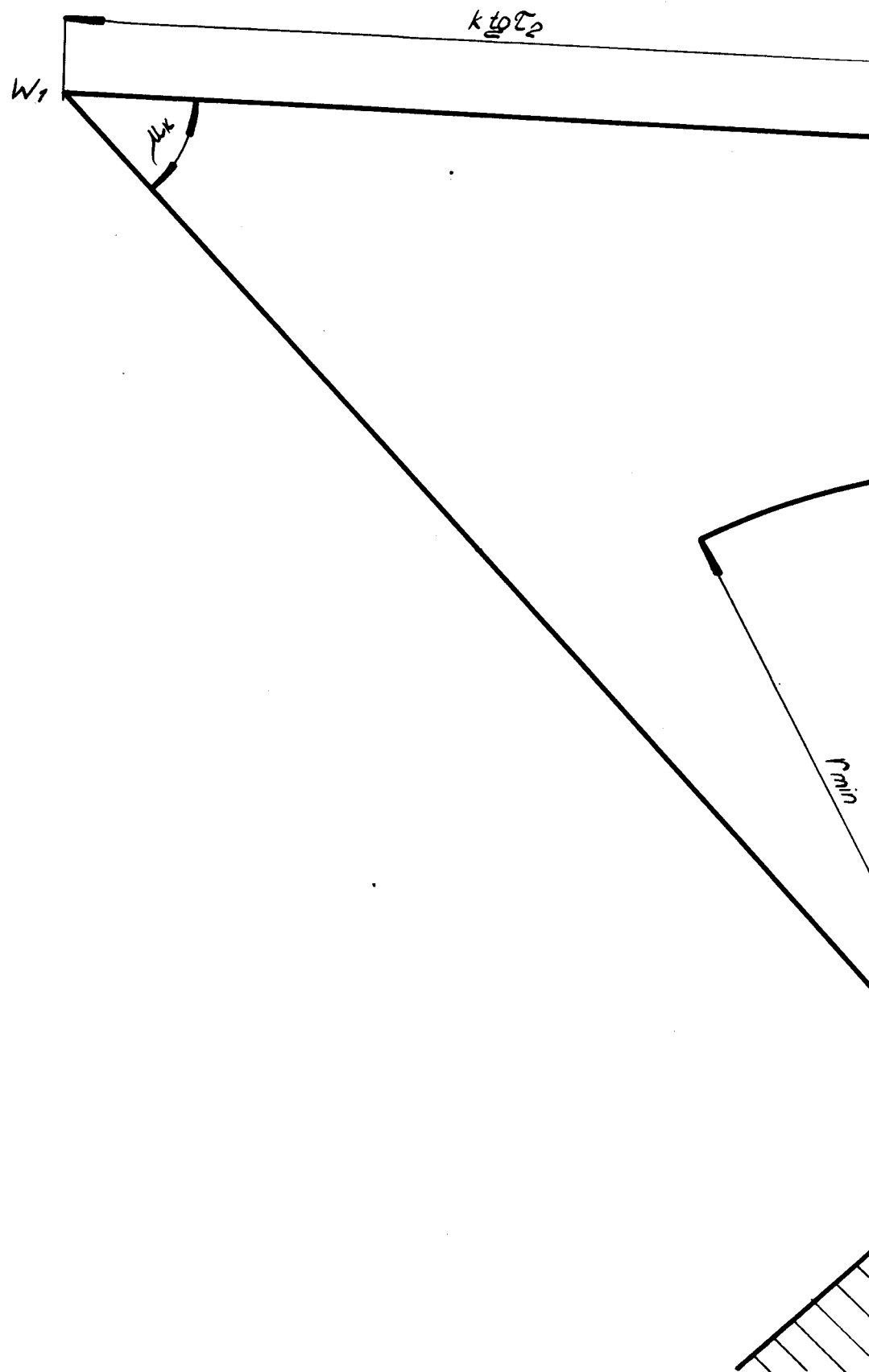
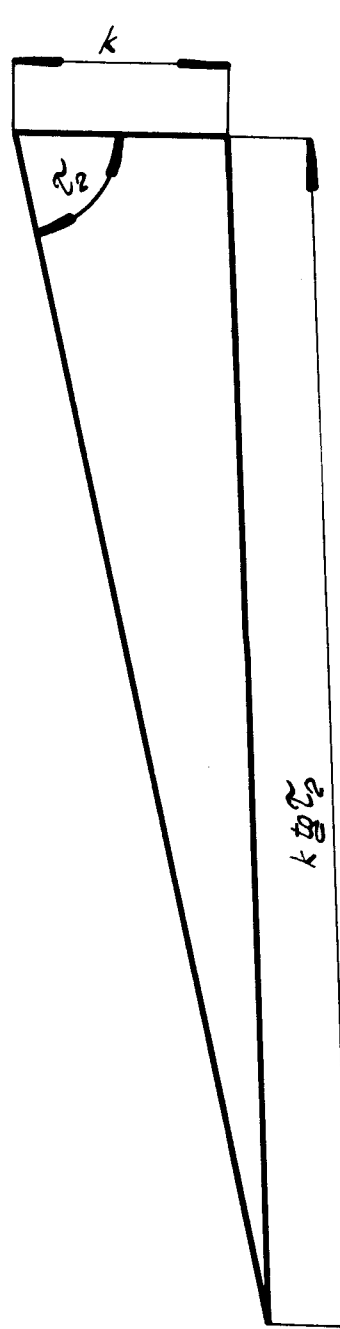
Číslo řádku	Posice		Počet kusů v sest.	Výrobek				označení - stav norma jakostní	číslo výkresu
	a	b		c	název název a označení rozměru	číslo výkresu norma (normativ)	čistá váha 1 ks v kg		
	2	3		4	5	6	7		
25	23								
26	24								
27	25								
28	26								
29	27		6	Šroub M 12 x 27	ČSN 02 1143				
30	28		10	Šroub M 12 x 40	ČSN 021101				
31	29		14	Šroub M 8 x 25	ČSN 021143				
32	30		32	Šroub M 12 x 40	ČSN 021143				
33	31		6	Matico M 12 x 1,5	ČSN 021411				
34	32		10	Podložka 12,2	ČSN 021740				
35	33		6	Závlačka 3,2 x 25	ČSN 021781				
36	34		2	Kolík 10 x 80	ČSN 022150				
37	35		2	Kolík 10 x 100	ČSN 022150				
38	36		4	Kolík 12 x 90	ČSN 022150				
39	37		4	Pero 1207 x 8 x 60	ČSN 022562				
40	38		4	Pojistný kroužek 36	ČSN 022930				
41	39		160	Jehly 3 x 24 - I -1-3	ČSN 023693				
42	40		1	Hlavice 10 M 6	ČSN 027451.3				
43	41		2	Olejoznak M 24 x 1,5	ČSN 027496				
44	42		14	Těsnící kroužek 8 x 12	ČSN 029310.3				
45	43								
46									

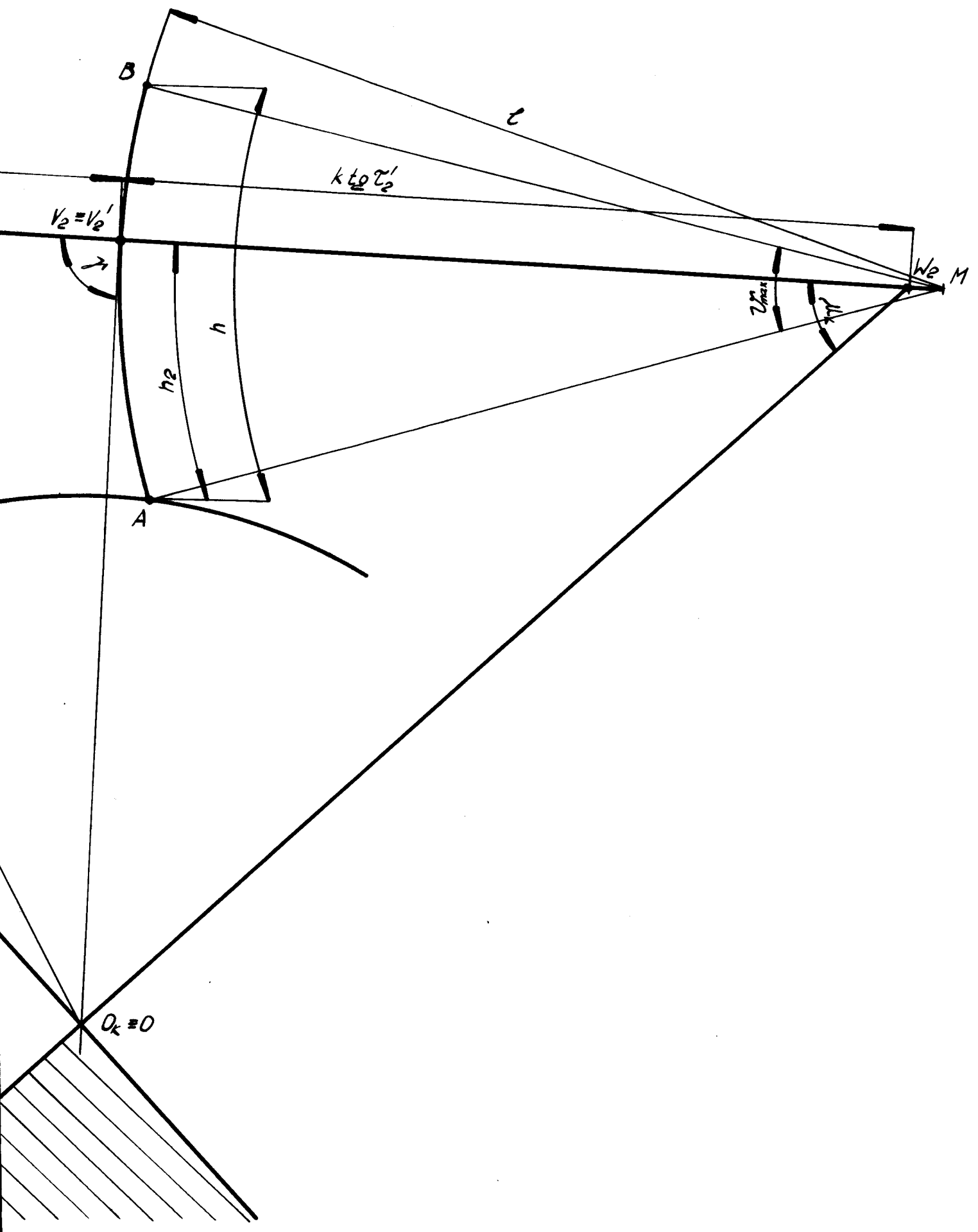
Změnový index kusovníku

Číslo výkresu
DP

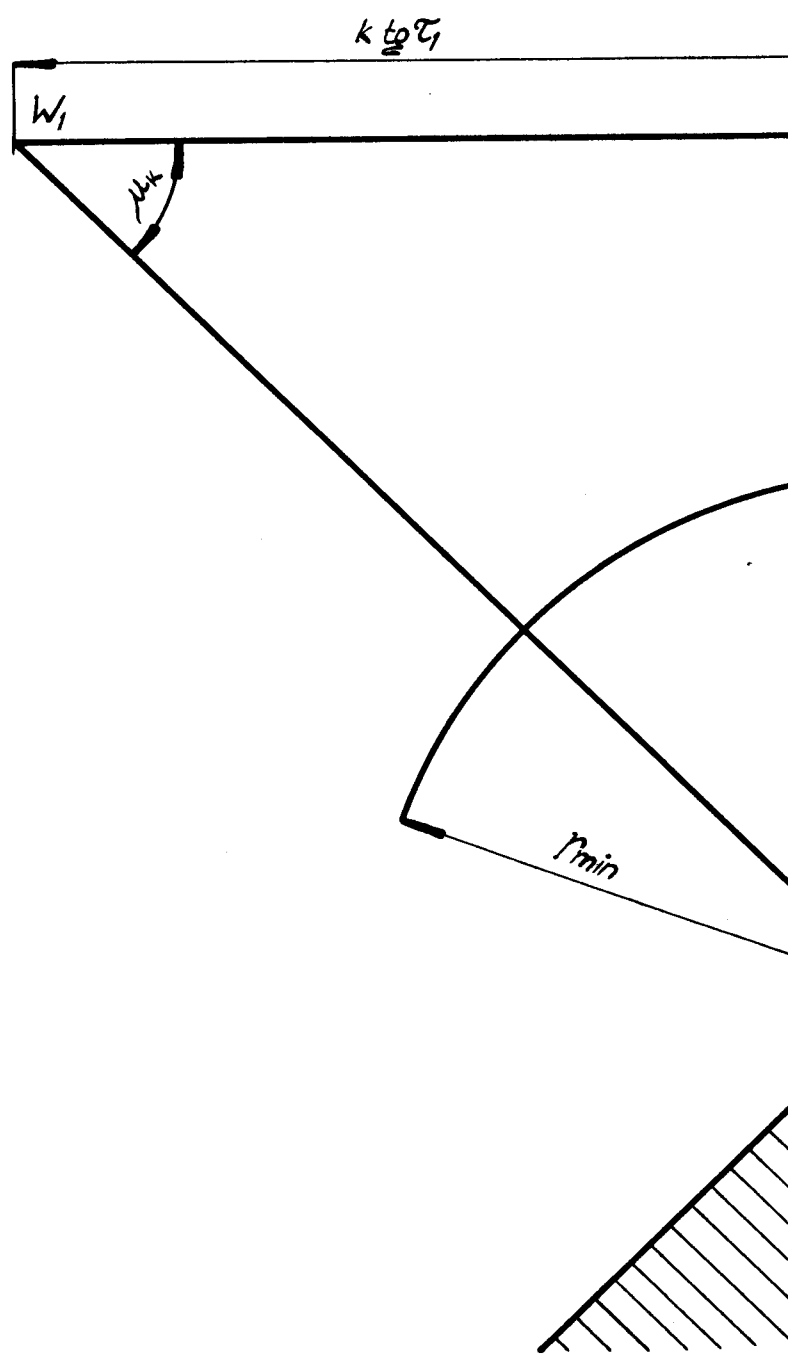
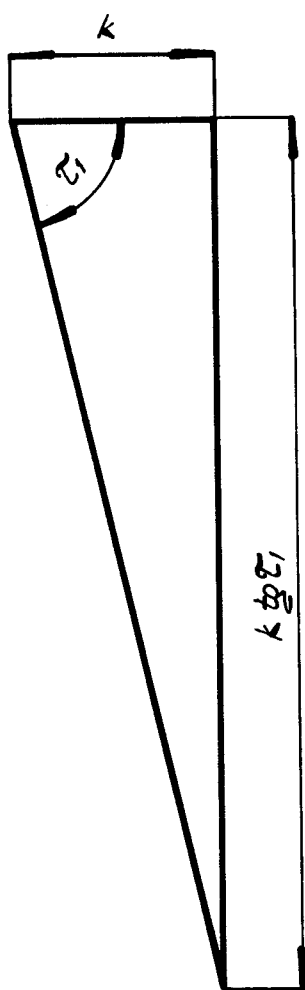
Název výkresu
Vaškov

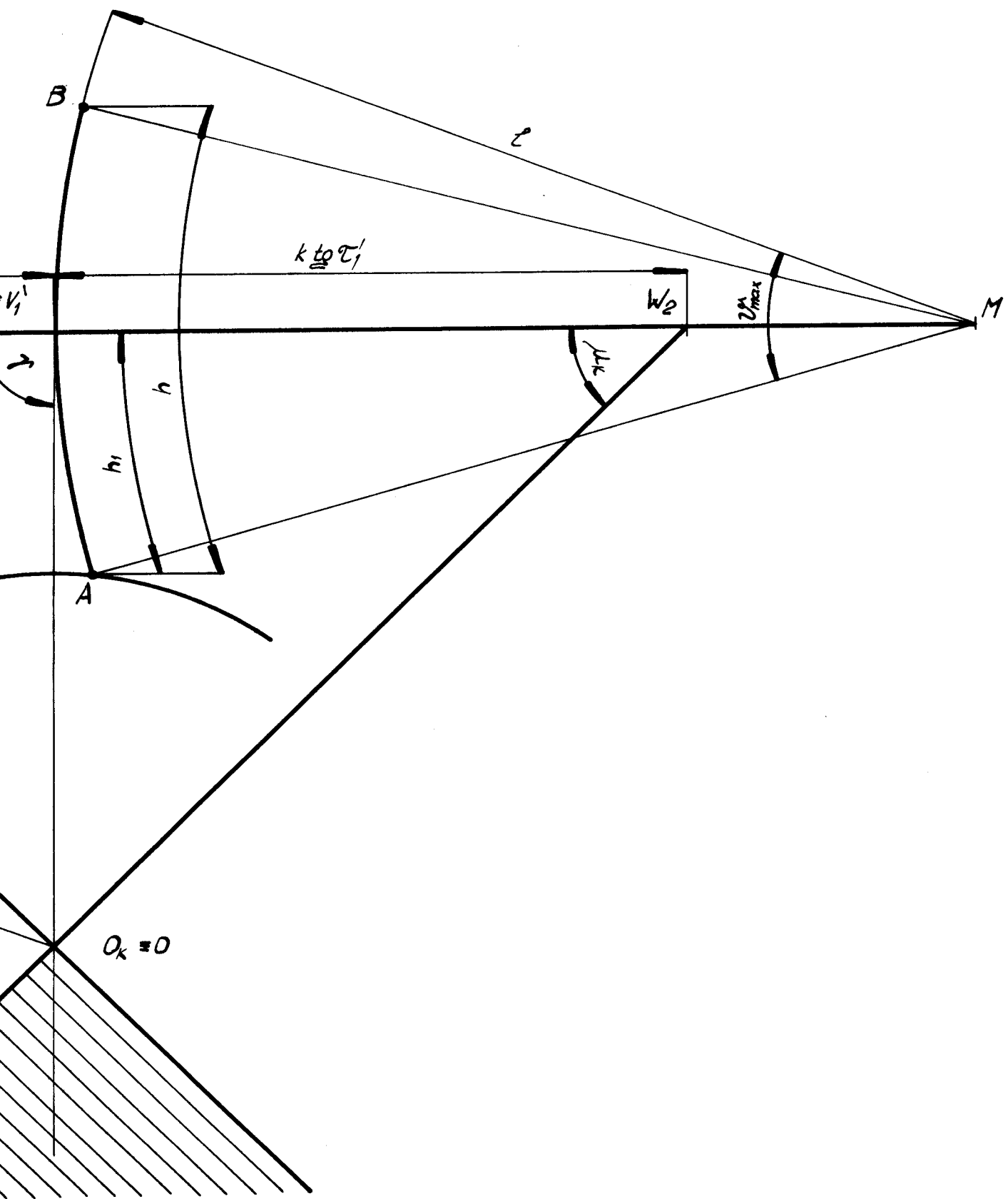
cestavy-skupiny-podskupiny*	Číslo transp.	Stupeň utajení	Číslo kusovníku	Proved.
00			DP - K - 1000	
cestavy-skupiny-podskupiny* echanismus bidla	Typ P 175	Číslo snímku	Počet listů 2	List číslo 2





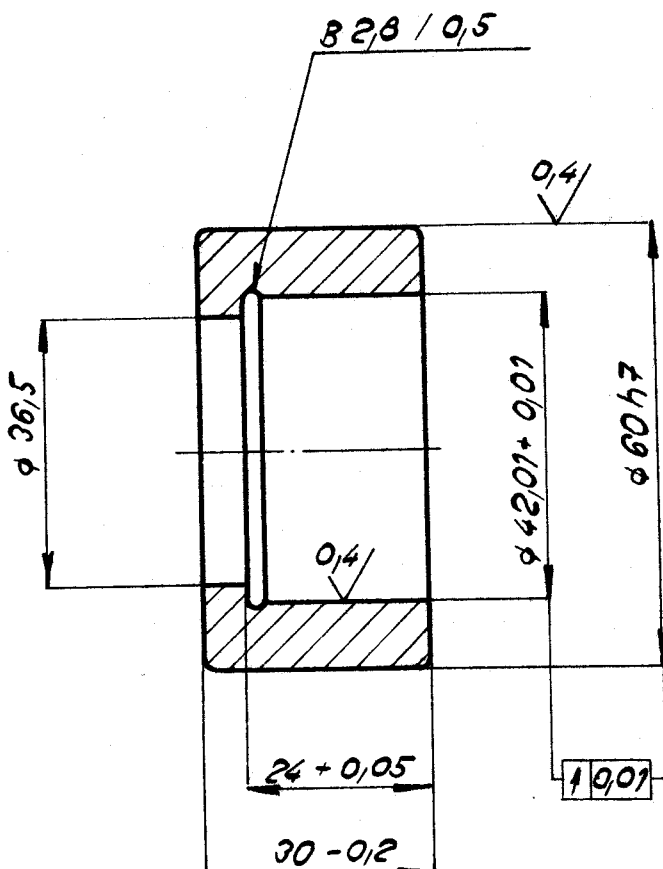
obr. 1/52





obr. 1/51

3,2 | 0,4 |



2. KALENO, POPUŠTĚNO HRC 31 ÷ 34
1. HRANY SRAZENY 0,5 x 45°

Materiál		Postice	Č. výkresu sestavil					
14 100.3		2	DP 1000					
Potěrovat	Tr. odpadu	C. rámka						
Ø 65	ČSN 420076	96						
Měřítko	Kreslil		Kategorie zkoušek					
1:1	František		TP.					
Výroba projektu		C. reakce p.						
Návrh, ref								
Schvalil	Dne							
Vsst	Type	Skupina	Starý výkres					
LIBEREC	P 175		Cíle výkresu					
Konstr skupina	Název		Poř. řízení					
Použitou			DP 1020					